

สำนักหอสมุด มหาวิทยาลัยบูรพา
ต.เมืองสุข อ.เมือง จ.ชลบุรี 20131

รายงานการวิจัยฉบับสมบูรณ์

การประเมินศักยภาพของอนุพันธ์ ferulic acid ในการเป็นยา ต้านอักเสบชนิดใหม่

Potential evaluation of ferulic acid derivatives
as novel anti-inflammatory agents

โดย

ผศ. ดร. กล่าวชัย ศรีสุข

ภาควิชาชีวเคมี คณะวิทยาศาสตร์ มหาวิทยาลัยบูรพา

ผศ. ดร. เอกรัฐ ศรีสุข

ภาควิชาเคมี คณะวิทยาศาสตร์ มหาวิทยาลัยบูรพา

ดร. สิทธิรักษ์ รอยตระกูล

สถาบันจีโนม ศูนย์พันธุวิศวกรรมและเทคโนโลยีชีวภาพแห่งชาติ

ได้รับเงินอุดหนุนการวิจัยงบประมาณเงินรายได้ (เงินอุดหนุนจากรัฐบาล)
งบประมาณปี 2554

17 เม.ย. 2555

ที่ K0143243

เงินเดือน

23 พ.ค. 2555

301496

อภินันทนการ

บทคัดย่อ

การอักเสบเป็นปฏิกิริยาการตอบสนองของสิ่งมีชีวิตในการตอบสนองต่อสิ่งแผลกปลอมและการบาดเจ็บของเซลล์ที่กระตุ้นให้เกิดขั้นตรายกับเซลล์ ในขณะที่มีการอักเสบนี้แมคโครฟ้ามีบทบาทสำคัญในกระบวนการอักเสบ และควบคุมการตอบสนองต่อภูมิคุ้มกัน แมคโครฟ้าที่ถูกกระตุ้นด้วย lipopolysaccharide (LPS) จะผลิตสารสื่อสารทางการอักเสบต่างๆ รวมทั้งไนตริกออกไซด์ (NO) ที่จะช่วยในการต่อต้านการติดเชื้อแบคทีเรีย Ethyl 2-acetyl-3-(4-hydroxy-3-methoxyphenyl) acrylate (EAMA) เป็นอนุพันธ์ของ ferulic acid ชนิดใหม่ที่ถูกสังเคราะห์ขึ้น สามารถลดการผลิตไนตริกออกไซด์ได้ ในเซลล์แมคโครฟ้า RAW 264.7 ที่ถูกกระตุ้นด้วย LPS โดยไม่มีผลต่อความมีชีวิตของเซลล์ แต่อย่างไรก็ตาม กลไกการออกฤทธิ์ของสาร EAMA ยังไม่เป็นที่เข้าใจทั้งหมด ดังนั้นเพื่อความเข้าใจการการทำงานของสารนี้ ผู้วิจัยจึงทำการศึกษาไปร่วมของการแสดงออกของโปรตีนในแมคโครฟ้า RAW 264.7 ที่สัมผัสกับ LPS ในสภาวะที่มีและไม่มีสาร EAMA ในช่วงเวลาต่างๆ โดยเทคนิค 1-dimensional SDS-PAGE และ nano-LC-MS/MS. พบรอยตีนทั้งหมดถึง 2,429 ชนิด แต่มีเพียง 1,100 ชนิดที่สามารถระบุรายละเอียดโดยโปรแกรม STRAP (Software Tool for Researching Annotations of Proteins) และสามารถแบ่งกลุ่ม โปรตีนทั้งหมดนี้ได้เป็น 6 กลุ่มตามตำแหน่งของค่าประกอบภายในเซลล์ดังนี้ 1) นิวเคลียส 2) เยื่อพลาสม่า 3) ไซโทพลาซึม 4) เอนโดพลาسمิกเตอร์ 5) เพอรอกซิโซม ไมโทคอนเดรีย และโครงร่างค้าจุนเซลล์ และ 6) ไรโนโซม เอนโดโซม และสารประกอบเชิงช้อนกับสารม荷โมนเลกุต เมื่อเปรียบเทียบรูปแบบการแสดงออกของโปรตีนในเซลล์แมคโครฟ้าโดยโปรแกรม MeV (MultiExperiment Viewer) ระหว่างสภาวะที่สัมผัส LPS อย่างเดียว กับสภาวะที่สัมผัส LPS และสาร EAMA พบรอยแสดงออกของโปรตีน 9 ชนิดที่มีรูปแบบการแสดงออกที่แตกต่าง ได้แก่ โปรตีน apoptosis related protein 3, T25C8.2, espin isoform 1, H2A histone family member V isoform 1, vasopressin-neurophysin 2-copeptin, protocadherin-12, thymidine kinase 1, poly(A)-specific ribonuclease PARN-like domain-containing protein 1-link และ CDNA sequence BC068157 โปรตีนเหล่านี้เป็นโปรตีนที่เกี่ยวข้องกับโครงร่างค้าจุนเซลล์ การเพิ่มจำนวนเซลล์ กระบวนการเร่อนโดยไซโทซิส การตายของเซลล์แบบ apoptosis การส่งสัญญาณ การยึดจับของเซลล์ และกระบวนการเมแทบอลิซึมของกรดนิวคลีอิก ในขณะที่การเปรียบเทียบโปรไฟล์ของโปรตีนในสภาวะที่สัมผัสสาร EAMA อย่างเดียว กับสภาวะควบคุม พบรอยตีน 24 ชนิดที่มีรูปแบบการแสดงออกที่แตกต่างกัน โปรตีนเหล่านี้เป็นโปรตีนที่เกี่ยวข้องกับโครงร่างค้าจุนเซลล์ การยึดจับของเซลล์ การส่งสัญญาณ การควบคุมการถอดรหัส กระบวนการ rRNA processing การขนส่งกรดอะมิโน (amino acid transport) การตอบสนองของภูมิคุ้มกัน กระบวนการเมแทabolismของกรดนิวคลีอิก และกระบวนการเมแทabolismของ GDP-mannose ได้ทำการเลือกโปรตีน 3 ชนิด คือ apoptosis related protein 3, thymidine kinase 1 และ 6-pyruvoyl tetrahydrobiopterin synthase precursor มาทำ การวิเคราะห์การแสดงออกของ mRNA โดยเทคนิค qRT-PCR พบรอยรูปแบบการแสดงออกที่แตกต่างจากโปรตีน ผลการทดลองที่ได้แสดงให้เห็นว่ารูปแบบการเปลี่ยนแปลงที่เหมือนหรือแตกต่างกันของการแสดงออกของ mRNA และโปรตีนสะท้อนถึงกลไกการควบคุมที่ซับซ้อนภายในเซลล์แมคโครฟ้าที่ตอบสนองต่อ LPS และ EAMA

คำสำคัญ: การอักเสบ, EAMA, แมคโครฟ้า, SDS-PAGE, LC-MS/MS

ABSTRACT

Inflammation is a natural defense of the body to protect against foreign organism or tissue injury causing harm to the body. During inflammation, macrophages play an important role in inflammation and regulate immune response. Macrophages induced by bacterial lipopolysaccharide (LPS) secreting a large number of inflammatory mediators, such as nitric oxide (NO) to help fighting the bacterial infection. Ethyl 2-acetyl-3-(4-hydroxy-3-methoxyphenyl) acrylate (EAMA), a ferulic acid derivatives, is a novel synthetic compound which has been shown previously to possess\an inhibitory effect on NO production in LPS-stimulated macrophages RAW 264.7 without affecting cell viability. But the mechanisms involved are not yet fully understood. To better understand its function, the differentially expressed proteins of the LPS-treated murine macrophage cells response to EAMA was observed by a label-free quantitative proteomic approach. A total of 2,429 peptides were identified using 1-dimensional SDS-PAGE combined with nano-LC-MS/MS. Only 1,100 proteins could be annotated by STRAP (Software Tool for Researching Annotations of Proteins) and grouped into 6 categories of molecular function, including (i) binding activity, (ii) catalytic activity, (iii) molecular transducer activity, (iv) regulator activity, (v) structural molecular activity. The proteomics data was further analyzed the protein expression pattern by using MeV (MultiExperiment Viewer) program. The MeV results showed 9 differential expressed proteins of LPS treated cells compared with co-treated with LPS and EAMA cells. They were apoptosis related protein 3, T25C8.2, espin isoform 1, H2A histone family member V isoform 1, vasopressin-neurophysin 2-copeptin, protocadherin-12, thymidine kinase 1. poly(A)-specific ribonuclease PARN-like domain-containing protein 1-lik, and CDNA sequence BC068157. These proteins involved in cytoskeleton, cell proliferation, endocytosis, apoptosis, signal transduction, cell adhesion, and nucleic acid metabolic process. While The MeV results showed 24 differential expressed proteins of EAMA treated cells and the control cells. These proteins involved in immune response, nucleic acid metabolic process, rRNA processing, GDP-mannose metabolic process, cell adhesion, amino acid transport, signal transduction, transcriptional regulation and cytoskeleton. Three proteins including apoptosis related protein 3, thymidine kinase 1 and 6-pyruvoyl tetrahydrobiopterin synthase precursor, were selected to to analyze the mRNA expression by qRT- PCR. In this comparison, mRNA expression pattern of 3 selected proteins changed in different pattern with protein. The results indicated that, the different changes between mRNA and protein expression reflected complex regulatory mechanisms for macrophage response to LPS and EAMA.

Keywords: Inflammation, EAMA, Macrophage, SDS-PAGE, LC-MS/MS

กิตติกรรมประกาศ

การศึกษาครั้งนี้สำเร็จลงได้ด้วยความช่วยเหลือด้านต่างๆ คณะผู้วิจัยขอขอบคุณภาควิชาชีวเคมี ภาควิชาเคมี คณะวิทยาศาสตร์ มหาวิทยาลัยบูรพา และศูนย์พันธุวิศวกรรมและเทคโนโลยีชีวภาพแห่งชาติ สำนักงานพัฒนาวิทยาศาสตร์และเทคโนโลยีแห่งชาติ สำหรับความอนุเคราะห์เครื่องมือและอุปกรณ์ในการทำวิจัย นอกจากนี้ขอขอบคุณ นางสาวจิราภา จันทิมาลย์ นิสิตคณะวิทยาศาสตร์ มหาวิทยาลัยบูรพา สำหรับความช่วยเหลือทางเทคนิค

สารบัญ

บทคัดย่อ	หน้า
ABSTRACT	i
กิตติกรรมประกาศ	ii
บทนำ	iii
วัสดุ อุปกรณ์ สารเคมี และวิธีการทดลอง	1
ผลการทดลอง	5
อภิปรายผลการทดลอง	10
บรรณานุกรม	36
	39

บทที่ 1

บทนำ

1.1 ความสำคัญและที่มาของปัญหาที่ทำการวิจัย

การอักเสบ (inflammation) เป็นปฏิกิริยาอันซับซ้อนที่เนื้อเยื่อต่างๆ ตอบสนองต่อเชื้อจุลชีพ และสิ่งที่เป็นอันตรายต่อร่างกาย ก่อให้เกิดการเปลี่ยนแปลงทางชีวเคมีในร่างกาย ทำให้เกิดการหลั่งของสารสื่อกลางในการอักเสบ (inflammatory mediators) ชนิดต่างๆ เช่น ในตริกอออกไซด์ (nitric oxide, NO) ออกจากเซลล์เม็ดเลือดขาวและเซลล์แมคโครฟاج โดยในตริกอออกไซด์มีฤทธิ์ส่งเสริมการอักเสบ ในตริกอออกไซด์เป็นอนุมูลอิสระที่ถูกผลิตขึ้นจากการเปลี่ยน L-arginine ได้เป็น L-citrulline โดยเอนไซม์ nitric oxide synthase (NOS; EC 1.14.13.39) ในปัจจุบันพบว่า NOS มี 3 isoform ได้แก่ neuronal NOS (nNOS), endothelial NOS (eNOS) และ inducible NOS (iNOS) โดยที่ nNOS และ eNOS เป็น constitutive form ในขณะที่ iNOS เป็น inducible form การเร่งปฏิกิริยาของ NOS ต้องการโคแฟคเตอร์ เช่น nicotinamide adenine dinucleotide phosphate (NADPH), flavin adenine dinucleotide (FAD), flavin mononucleotide (FMN), calmodulin (CaM), tetrahydrobiopterin (BH₄) และเอนไซม์ (Alderton, 2001) transcription factor ที่สำคัญและทำหน้าที่ควบคุมการแสดงออกของ iNOS เมื่อถูกกระตุ้นด้วย LPS ในเซลล์ คือ NF-κB ในสภาวะปกติที่เซลล์ไม่ถูกกระตุ้น NF-κB จะถูกจับโดย IKB และอยู่ในไซโตซอล เมื่อเซลล์ถูกกระตุ้นจะมีการส่งสัญญาณทางชีวภาพให้มีการสลาย IKB ส่งผลให้ NF-κB เกิด translocation เข้าสู่นิวเคลียสเพื่อกระตุ้นการแสดงออกของยีน iNOS

ในตริกอออกไซด์มีหน้าที่เกี่ยวข้องกับกระบวนการต่างๆ ในร่างกาย เช่น การสื่อสารประสาท (neurotransmission) ควบคุมความดันโลหิตโดยทำให้หลอดเลือดขยายตัว (vascular relaxation) ป้องกันการเกาะตัวของเกล็ดเลือด (platelet aggregation) และการจับของเม็ดเลือดขาว (leukocyte adhesion) รวมทั้งยังเกี่ยวข้องกับระบบภูมิคุ้มกันแบบ innate immunity ในการกำจัดจุลชีพที่บุกรุกโดยเซลล์แมคโครฟاج (Coleman, 2001) ในตริกอออกไซด์ที่สร้างในเซลล์แมคโครฟاجนี้ ถูกผลิตโดยเอนไซม์ iNOS ซึ่งถูกกระตุ้นการแสดงออกของยีนเมื่อมีการสัมผัสกับ cytokine endotoxin หรือ lipopolysaccharide (LPS) จากแบคทีเรีย ถึงแม้ว่าในตริกอออกไซด์จะมีหน้าที่เกี่ยวข้องกับการกำจัดจุลชีพที่รุกรานร่างกายมนุษย์ แต่ในตริกอออกไซด์ที่ถูกผลิตขึ้นในปริมาณที่มากเกินไปจาก iNOS ถูกพบว่ามีส่วนร่วมในการเกิดการอักเสบและนำไปสู่อาการของโรคต่างๆ เช่น ภาวะช็อคจากการติดเชื้อย่างรุนแรง (septic shock) การปฏิเสธของเนื้อเยื่อในการปลูกถ่ายอวัยวะ โรคสมองเสื่อม เช่น โรคอัลไซเมอร์ (Alzheimer disease) โรคพาร์กินสัน (Parkinson disease) โรคเมร์จี โรคไขข้ออักเสบเรื้อรัง โรคหลอดเลือดแดงแข็งตัว และ ischemia/reperfusion injury (Wright, 1992; Dorheim, 1994; Grisham, 1999; Coleman, 2001; Cross และ Wilson, 2003; Guzik, 2003; Latham, 2005) โดยในตริกอออกไซด์ทำหน้าที่เป็นสารสื่อกลางการอักเสบที่สำคัญซึ่งถูกผลิตขึ้นโดยเซลล์แมคโครฟاج การยับยั้งการผลิตในตริกอออกไซด์ที่มากเกินไปนี้อาจช่วยรักษาโรคต่างๆ นี้ได้ วิธีการยับยั้งการผลิตในตริกอออกไซด์มีหลายวิธี เช่น การใช้ตัวยับยั้งเอนไซม์ iNOS (iNOS inhibitor) การยับยั้งการแสดงออกของยีนสำหรับเอนไซม์ anti-inflammatory เช่น heme oxygenase-1 (HO-1) ในปัจจุบันมีความพยายามในการค้นหาโมเลกุลสารจากระยะชาติและการสังเคราะห์ที่สามารถลดการผลิตในตริกอออกไซด์ เพื่อนำไปสู่การผลิตยาด้านการอักเสบต่อไป

HO-1 (EC 1.14.99.3) เป็นเอนไซม์ที่ย่อยสลายกลุ่มไฮม์ได้ผลผลิตเป็นเหล็ก (Fe^{2+}) คาร์บอน มอนอกไซด์ (CO) และ biliverdin ซึ่งถูกเปลี่ยนต่อเป็น bilirubin โดยเอนไซม์ biliverdin reductase ทั้ง biliverdin และ bilirubin หน้าที่เป็นสารต้านอนุมูลอิสระที่เกิดขึ้นในร่างกาย ส่วนการบอนมอนอกไซด์ถูกรายงานว่าสามารถลดการผลิตในตริกอออกไซด์ และลดการแสดงออกของยีน iNOS (Sarady-Andrews, 2005; Sawles, 2005; Srisook และคณะ; 2006) ดังนั้นการกระตุ้นเอนไซม์ HO-1 นอกจากที่จะลดการผลิตในตริกอออกไซด์แล้ว ยังสามารถลดปริมาณอนุมูลอิสระอื่นๆที่เกิดขึ้นในระหว่างการตอบสนองการอักเสบ (immune response) ได้อีกด้วย จึงทำให้การต้านการอักเสบมีประสิทธิภาพมากขึ้นและไม่ทำให้สมดุลของ oxidative stress เสียไป

N-acetyl-3-O-methyldopamine (NAMDA) เป็นสารเมtaboไลต์ของ dopamine ที่อยู่ในระบบประสาทส่วนกลาง (CNS) สาร NAMDA แสดงการออกฤทธิ์ยับยั้งการผลิตในตริกอออกไซด์ในเซลล์ microglia ของหนู (BV-2) ที่ถูกกระตุ้นด้วย LPS โดยผ่านการยับยั้งการผลิต BH₄ นอกจากนี้ NAMDA ยังมีผลในการปگปองเซลล์สมองชนิด CA1 hippocampus จากการถูกทำลายด้วยในตริกอออกไซด์ที่มากเกินไป (Cho, 1999) ถึงแม้ว่า NAMDA ไม่แสดงความเป็นพิษต่อเซลล์ แต่ระดับความเข้มข้นที่สามารถแสดงฤทธิ์การยับยั้งได้อยู่ที่ความเข้มข้นสูงประมาณ 1-3 μM นอกจากนี้ Seo และคณะ (2005, 2008) ได้ทำการตัดแบ่งโครงสร้างทางเคมีของ NAMDA และพบว่าอนุพันธ์ NAMDA ที่ออกฤทธิ์ดีที่สุดที่ความเข้มข้น 100 μM สามารถลดการผลิตในตริกอออกไซด์ในเซลล์ BV-2 ลงประมาณ 60% นอกจากนี้ก่อนวิจัยของเราได้ทำการสังเคราะห์อนุพันธ์ NAMDA ชนิดใหม่ จำนวน 43 สาร เมื่อศึกษาในเซลล์แมคโครฟ้าจสายพันธ์ RAW 264.7 ที่ถูกกระตุ้นด้วย LPS ซึ่งเป็นการจำลองสภาพการอักเสบในระดับ *in vitro* โดยพบว่าสารที่มีโครงสร้างคล้าย ferulic acid จำนวน 10 สารจากทั้งหมด 43 สาร ที่ความเข้มข้น 100 μM แสดงความเป็นพิษต่อเซลล์ในระดับต่ำ และสามารถลดปริมาณในตริกอออกไซด์ในเซลล์แมคโครฟ้าจสายพันธ์ RAW 264.7 ได้มากกว่า 90% เมื่อเปรียบเทียบกับเซลล์ที่ถูกกระตุ้นด้วย LPS เพียงอย่างเดียว (Karnkla, 2008 และ Mongkol, 2009) จากผลการศึกษาเบื้องต้นพบว่า อนุพันธ์ ferulic acid ที่มีโครงสร้างคล้าย ferulic acid ทั้ง 10 สารนี้ สามารถลดปริมาณโปรตีนของ iNOS โดยมีสารเหล่านี้นอกจากจะมีฤทธิ์ลดการผลิตในตริกอออกไซด์ได้มากแล้วยังสามารถเห็นได้จากการแสดงออกของโปรตีน HO-1 ได้ จากผลการศึกษาเบื้องต้นนี้ แสดงให้เห็นว่าอนุพันธ์ ferulic acid ชนิดใหม่เหล่านี้มีศักยภาพที่จะถูกพัฒนาไปเป็นยาต้านการอักเสบได้เนื่องจากมีความสามารถลดการผลิตในตริกอออกไซด์ได้อย่างมีประสิทธิภาพ โดยสาร BMC41 หรือ EAMA ที่มีประสิทธิภาพในการยับยั้งการผลิตในตริกอออกไซด์ที่สุด แต่อย่างไรก็ตามกลไกในการลดการผลิตในตริกอออกไซด์ของสาร EAMA นี้ได้ทำการศึกษาไปบางส่วน โดยกลไกหนึ่งที่อาจเป็นไปได้คือ การลดการผลิตในตริกอออกไซด์โดยผ่านการเห็นได้ของการ และยับยั้งการฟอสโฟเรชัน (phosphorylation) ของ c-Jun NH₂-terminal kinase (JNK) and extracellular signal-regulated protein kinase (ERK) ดังนั้นผู้วิจัยจึงสนใจที่จะศึกษากลไกการออกฤทธิ์ในระดับโมเลกุลของสาร EAMA โดยการวิเคราะห์โปรตีโนมด้วยเทคนิค Gel-based LC-MS/MS (GeLC-MS/MS) เพื่อให้ได้องค์ความรู้ใหม่เกี่ยวกับการเปลี่ยนแปลงของโปรตีนในเซลล์ที่สัมผัสสาร EAMA อันจะนำไปสู่แนวทางในการยับยั้งการอักเสบท่อไป

1.2 วัตถุประสงค์ของโครงการวิจัย

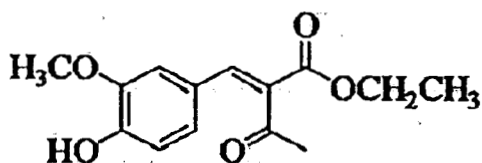
เพื่อวิเคราะห์โปรตีโนมิกส์ในเซลล์แมคโครฟ้าจสายพันธ์ RAW 264.7 ที่สัมผัสกับ LPS อย่างเดียว และที่สัมผัสกับอนุพันธ์ ferulic acid ร่วมกับ LPS

1.3 ขอบเขตของโครงการวิจัย

ทำการวิเคราะห์โดยด้วยเทคนิค Gel-based LC-MS/MS สุดท้ายทำการยืนยันระดับการแสดงออกของยีนสำหรับโปรตีนบางชนิดที่มีการเปลี่ยนแปลงเมื่อวิเคราะห์โดยโอม

1.4 งานวิจัยที่เกี่ยวข้อง

ในปัจจุบันมีรายงานว่า N-acetyl-3-O-methyldopamine (NAMDA) เป็นเมtaboไลต์ของ dopamine ในระบบประสาทส่วนกลาง (CNS) ซึ่งมีรายงานว่า สามารถลดการบาดเจ็บของเซลล์ประสาทโดยยับยั้งการสังเคราะห์ของ NOS cofactor, BH₄ ในเซลล์ microglial BV-2 ซึ่งถูกกระตุ้นด้วย LPS โดย NAMDA จะยับยั้งเอนไซม์ GTP cyclohydrolase I ทำหน้าที่เป็นเอนไซม์ควบคุมอัตราการเร่งปฏิกิริยาของสังเคราะห์ BH₄ (Cho et al., 1999) แม้ว่า NAMDA จะไม่มีพิษแต่สามารถลดการผลิตเนื้อตriticอกอิชีด์ได้ที่ความเข้มข้นสูง ต่อมา Seo และคณะ (2005, 2008) ได้ทำการดัดแปลงโครงสร้างของอนุพันธ์ NAMDA และพบว่าอนุพันธ์บางชนิดมีความสามารถช่วยโครงสร้างและฤทธิ์ในการยับยั้งการผลิตในตriticอกอิชีด์ ต่อมากarnkla (2008) ได้ทำการสังเคราะห์อนุพันธ์ NAMDA ชนิดใหม่ จำนวน 43 สาร และพบว่าอนุพันธ์ NAMDA มีฤทธิ์ในการกำจัดอนุมูลอิสระ DPPH และมีฤทธิ์ต้านการอักเสบ (Mongkol, 2009) โดยการศึกษาในเซลล์แมคโครฟางสายพันธ์ RAW 264.7 ที่ถูกกระตุ้นด้วย LPS ซึ่งเป็นการจำลองสภาวะการอักเสบในระดับ *in vitro* พบร่วมอนุพันธ์ NAMDA บางชนิดสามารถปริมาณในตriticอกอิชีด์ได้ โดยไม่แสดงความเป็นพิษต่อเซลล์ และจากการศึกษาของ กล่าวขวัญ ศรีสุข และเอกรัฐ ศรีสุข (2554) พบร่วมสาร EAMA หรือสาร ethyl 2-acetyl-3-(4-hydroxy-3-methoxyphenyl)acrylate ซึ่งเป็นอนุพันธ์ NAMDA ที่มีโครงสร้างคล้ายอนุพันธ์ ferulic acid ตั้งแสดงในรูปที่ 1-1 มีประสิทธิภาพสูงที่สุดใน การยับยั้งการผลิตในตriticอกอิชีด์



รูปที่ 1-1 โครงสร้างของสาร ethyl 2-acetyl-3-(4-hydroxy-3-methoxyphenyl)acrylate (EAMA)

สาร EAMA นี้สามารถลดการผลิตในตriticอกอิชีด์ได้ในลักษณะที่เข้มข้นกว่า 7.1 μM ในเซลล์แมคโครฟาง RAW 264.7 ที่ถูกกระตุ้นด้วย lipopolysaccharide (LPS) ข้อมูลของ western blot และ reverse transcription-polymerase chain reaction พบร่วมสาร EAMA สามารถลดปริมาณโปรตีน และ mRNA ของ iNOS ในลักษณะที่เข้มข้นเหมือนกับการยับยั้งการผลิตในตriticอกอิชีด์ การต้านอักเสบของสาร EAMA เกิดขึ้นโดยการยับยั้ง iNOS promoter activity และการลดการเคลื่อนที่ของ nuclear factor KB p65 (NF-KB) เข้าสู่นิวเคลียส นอกจากนี้ยังพบร่วมสาร EAMA สามารถเหนี่ยวนำให้เกิดการแสดงออกของโปรตีน และ mRNA ของ HO-1 ในลักษณะที่เข้มข้น ของสารทดสอบและเวลาที่สัมผัสสารทดสอบ การยับยั้งออกติวิติของ HO-1 โดย tin protoporphyrin IX (SnPP IX) ซึ่งเป็นสารยับยั้งออกติวิติของ HO-1 และการกำจัดคาร์บอนมอนอกอิชีด์ (CO) โดยไฮโมโกลบิน

(hemoglobin) สามารถลดการยับยั้งการผลิตในตระกออกไซด์ของสาร EAMA ข้อมูลที่ได้ทั้งหมดแสดงให้เห็นว่าสาร EAMA มีฤทธิ์ต้านการอักเสบในเซลล์แมมโคโรฟaje โดยอย่างน้อยเกิดผ่านการกระตุ้น HO-1 นอกจากนี้ยังพบว่า สาร EAMA สามารถยับยั้งการฟอสโฟเรลเลชัน (phosphorylation) ของ c-Jun NH₂-terminal kinase (JNK) and extracellular signal-regulated protein kinase (ERK) ที่เกิดจากการกระตุ้นด้วย LPS และไม่ยับยั้งการฟอสโฟเรลเลชันของ p38 mitogen-activated protein kinases (p38 MAPKs) (Srisook และคณะ, 2012)

บทที่ 2

วัสดุ อุปกรณ์ สารเคมี และวิธีการทดลอง

2.1 สารเคมี

Lipopolysaccharide หรือ LPS (*Escherichia coli* serotype O111:B4) ซื้อจาก Sigma Chemical (St.Louis, MO, USA), Avian myeloblastosis virus reverse transcriptase, Trypsin, sequencing grade modified ซื้อจาก Promega (Madison, WI, USA) Fetal bovine serum (FBS), Penicillin-Streptomycin, Dulbecco's modified Eagle's medium (DMEM), Opti-MEM และ UltraPure™ Distilled Water ซื้อจาก Invitrogen/Gibco (Grans Island, NY, USA) Oligo (dT)₁₅ primer ซื้อจาก Operon Biotechnologies (Germany) Oligonucleotide primers ซื้อจาก BioDesign (ประเทศไทย) TRI reagent ซื้อจาก Molecular Research Center (Cincinnati, OH, USA) Acrylamide PAGE 40% Solution และ Iodoacetamide ซื้อจาก GE Healthcare (UK) Deoxycholic acid sodium salt, DOC และ Dithiothreitol ซื้อจาก USB corporation (U.S.A.) และ 2X Prime Q-master Mix with SYBR Green I ซื้อจาก Genet Bio (Korea)

2.2 วิธีการดำเนินการวิจัย

2.2.1 การสังเคราะห์อนุพันธ์ ferulic acid ที่ใช้ในการทดสอบ

สังเคราะห์อนุพันธ์ ferulic acid หรือสาร ethyl 2-acetyl-3-(4-hydroxy-3-methoxyphenyl)acrylate (EAMA) ที่ใช้ในการทดสอบ เพื่อให้ได้ปริมาณที่เพียงพอ กับการทดสอบ

2.2.2 การเพาะเลี้ยงเซลล์

เพาะเลี้ยงเซลล์แมคโครฟ้าของหนูสายพันธ์ RAW 264.7 ในอาหารเลี้ยงเซลล์ที่มี 10% FBS-DMEM บนจานเพาะเลี้ยง (1×10^6 เซลล์/จาน) และนำไปปั่นที่อุณหภูมิ 37°C ในตู้ปั่นเซลล์โดยใช้ คาร์บอนไดออกไซด์ 5% เป็นเวลา 1 คืน เพื่อให้เซลล์เกาะพื้นผิว จากนั้นเปลี่ยนอาหารเลี้ยงเซลล์และเติม สารทดสอบ แล้วจึงนำไปปั่นที่ 37°C ในตู้ปั่นเซลล์ตามช่วงเวลาต่างๆ โดยแบ่งกลุ่มการทดลองดังนี้

- กลุ่มควบคุม จะทำการบ่มเซลล์เป็นเวลา 0, 3, 6, 12 และ 24 ชั่วโมง
- กลุ่มที่สัมผัสกับ LPS (1 μl/อาหาร 1 ml) จะทำการบ่มเซลล์เป็นเวลา 3, 6, 12 และ 24 ชั่วโมง
- กลุ่มที่สัมผัสกับสาร EAMA (100 μM) จะทำการบ่มเซลล์เป็นเวลา 3, 6, 12 และ 24 ชั่วโมง
- กลุ่มที่สัมผัสกับ LPS (1 μl/อาหาร 1 ml) ร่วมกับสาร EAMA (100 μM) จะทำการบ่มเซลล์เป็นเวลา 3, 6, 12 และ 24 ชั่วโมง

ในแต่ละกลุ่มการทดลอง และในแต่ละช่วงเวลา จะทำการเพาะเลี้ยงเซลล์จำนวน 3 จานเพาะเลี้ยง และเมื่อครบเวลาการบ่มด้วยสารทดสอบ เซลล์แต่ละกลุ่มจะถูกสกัดโดยตีนเพื่อทำการทดลองต่อไป

2.2.3 การเตรียมตัวอย่างโปรตีนสำหรับการวิเคราะห์ด้วยเทคนิค SDS-PAGE

นำเซลล์ที่บ่มครบตามเวลาแล้วมาล้างด้วยบัฟเฟอร์ PBS ที่เย็น 2 ครั้ง จากนั้นเติม 0.1% SDS ให้ท่วมเซลล์ แล้วจึงนำไปปั่นที่ -80°C เป็นเวลา 1 คืน จากนั้นใช้ปีเปตต์ดูดขึ้น-ลงประมาณ 15-20 ครั้ง ก่อนดูดไปเก็บในหลอด eppendorf แล้วนำไปปั่นเร็วๆ ที่ 5,000 rpm นาน 15 นาที เก็บส่วนใส่หลอดใหม่ แล้วจึงตอกตะกอนโปรตีนโดยการเติม acetone ที่เย็นปริมาตรเป็น 2 เท่าของปริมาตรส่วนใส่ที่ได้ แล้วจึงนำไปเก็บไว้ที่ -20°C เป็นเวลา 1 คืน ต่อมานำไปปั่นเร็วๆ ที่ 10,000 rpm นาน 15 นาที ดูดส่วนใส่ทิ้ง แล้ว

นำตัวอย่างไปละลายใน 0.15% (w/v) deoxycholic acid sodium salt (DOC) ปริมาตร 30-50 μ l เพื่อเตรียมตัวอย่างในการวัดปริมาณโปรตีนต่อไป

2.2.4 การวัดปริมาณโปรตีนโดยวิธี Lowry

นำสารละลายโปรตีนมาตรฐาน BSA ที่ความเข้มข้น 2 μ g/ μ l ผสมกับสารละลาย 0.15% DOC ตามปริมาณที่แสดงในตารางด้านล่างเพื่อใช้ในการสร้างกราฟมาตรฐาน เตรียมโปรตีนตัวอย่างโดยเติม 0.15% DOC ให้มีปริมาตร 10 μ l จากนั้นนำโปรตีนที่ได้มาเติม reagent A (0.2% $CuSO_4$, 0.4% tatalic acid, 20% Na_2CO_3 , 0.8 N NaOH, 5% SDS) ปริมาตร 200 μ l บ่มนาน 30 นาที และหยุดปฏิกิริยาโดยเติม reagent B (0.2% Folin-ciocalteu phenol) ปริมาตร 50 μ l บ่มที่อุณหภูมิห้องนาน 30 นาที แล้วจึงนำมาวัดค่าการดูดกลืนแสงที่ 750 nm จากนั้นนำค่าที่ได้มาหารปริมาณความเข้มข้นของโปรตีนตัวอย่างโดยเทียบกับกราฟมาตรฐานของสารละลายโปรตีน BSA ที่ทราบความเข้มข้น

2.2.5 การแยกโปรตีนด้วยเทคนิค SDS-PAGE

ดูดสารละลายโปรตีน 45 μ g เติมสีย้อม 5 μ l และเติมน้ำให้มีปริมาตรสุดท้ายเป็น 13 μ l จากนั้นให้ความร้อนที่อุณหภูมิ 100°C นาน 5 นาที แล้วนำไปปั่นตกก่อนดูดสารละลายโปรตีนที่ได้มา 10 μ l นำมาโหลดลงเจล (4% stacking gel และ 12.5% separating gel) และทำการแยกโปรตีนโดยใช้ความต่างศักย์ไฟฟ้าที่ 50 โวลต์จนกระทั้งແບสีย้อมเคลื่อนที่มาถึง separating gel และเพิ่มความต่างศักย์ไฟฟ้าเป็น 70 โวลต์ จนกว่าແບสีย้อมจะถึงขอบล่างของกระฉังจึงหยุด นำเจลที่ได้มาทำการย้อมโดยใช้ silver

2.2.6 การย้อมเจลโดย silver

เติมสารละลาย fixing (50% methanol, 12% acetic acid, 37% formaldehyde) ปริมาตร 200 ml จากนั้นเขย่าที่อุณหภูมิห้องเป็นเวลา 30 นาทีด้วยเครื่อง shaker แล้วจึงเททิ้ง จากนั้นเติมสารละลาย washing (35% ethanol ในน้ำกลั่นปลอดเชื้อ) และเขย่าที่อุณหภูมิห้องเป็นเวลา 5 นาที 2 ครั้ง จากนั้นเททิ้ง และเติมสารละลาย sensitizing (sodium thiosulfate 1.26 mM) ปริมาตร 200 ml และเขย่าที่อุณหภูมิห้องเป็นเวลา 2 นาที จากนั้นเททิ้ง แล้วจึงล้างเจลด้วยน้ำกลั่นปลอดเชื้อปริมาตร 200 ml และเขย่าที่อุณหภูมิห้องเป็นเวลา 5 นาที จำนวน 2 ครั้ง แล้วจึงเททิ้ง และเติมสารละลาย staining (silver nitrate 11.8 mM) ปริมาตร 200 ml แล้วเขย่าเป็นเวลา 20 นาที แล้วเททิ้งและล้างด้วยน้ำกลั่นปลอดเชื้อเป็นเวลา 1 นาที เทน้ำทิ้ง จากนั้นเติมสารละลาย developing (sodium carbonate 0.57 M, sodium thiosulfate 1.26 mM, 37% formaldehyde) ปริมาตร 200 ml บ่มไว้จนกว่าจะปรากฏแถบโปรตีน แล้วจึงเทสารละลายทิ้ง เติมสารละลาย stopping (sodium EDTA 39.2 mM) ปริมาตร 200 ml เขย่าที่อุณหภูมิห้องเป็นเวลา 20 นาที จากนั้นเทสารละลายทิ้งและล้างน้ำกลั่นปลอดเชื้อปริมาตร เป็นเวลา 5 นาที จำนวน 3 ครั้ง นำเจลที่ได้เก็บไว้ใน 0.1% (v/v) acetic acid รอการวิเคราะห์ผลต่อไป

2.2.7 การย่อยภายในเจล (In-gel digestion)

ทำการตัดเจลของแต่ละตัวอย่างออกเป็น 17 ช่วง และนำเจลแต่ละช่วงมาตัดให้มีขนาด $1 \times 1 \times 1$ mm³ นำเจลที่ได้สเลิงใน 96-well plate (well ละไม่เกิน 10 ชิ้น) จากนั้nl ล้างเจลด้วยน้ำกลั่นปลอดเชื้อปริมาตร 200 μ l จำนวน 3 ครั้ง ดูดน้ำออกและเติม 100% (v/v) acetronitrile ปริมาตร 200 μ l เขย่าที่อุณหภูมิห้องเป็นเวลา 5 นาที ดูด acetronitrile ออกแล้วปล่อยให้เจลแห้งที่อุณหภูมิห้องเป็นเวลา 5-10 นาที จึงเติมสารละลาย 10 mM ammonium bicarbonate ที่มี 10 mM DTT ปริมาตร 50 μ l ก่อนตั้งทิ้งไว้ที่อุณหภูมิห้องเป็นเวลา 1 ชั่วโมง จากนั้nd ดูด 10 mM ammonium bicarbonate ที่มี 10 mM DTT ออกໄไป ต่อมาเติมสารละลาย 10 mM ammonium bicarbonate ที่มี 100 mM iodoacetamide ปริมาตร 50 μ l ตั้งทิ้งไว้ในที่มีดีที่อุณหภูมิห้องเป็นเวลา 1 ชั่วโมง แล้วดูด 10 mM ammonium

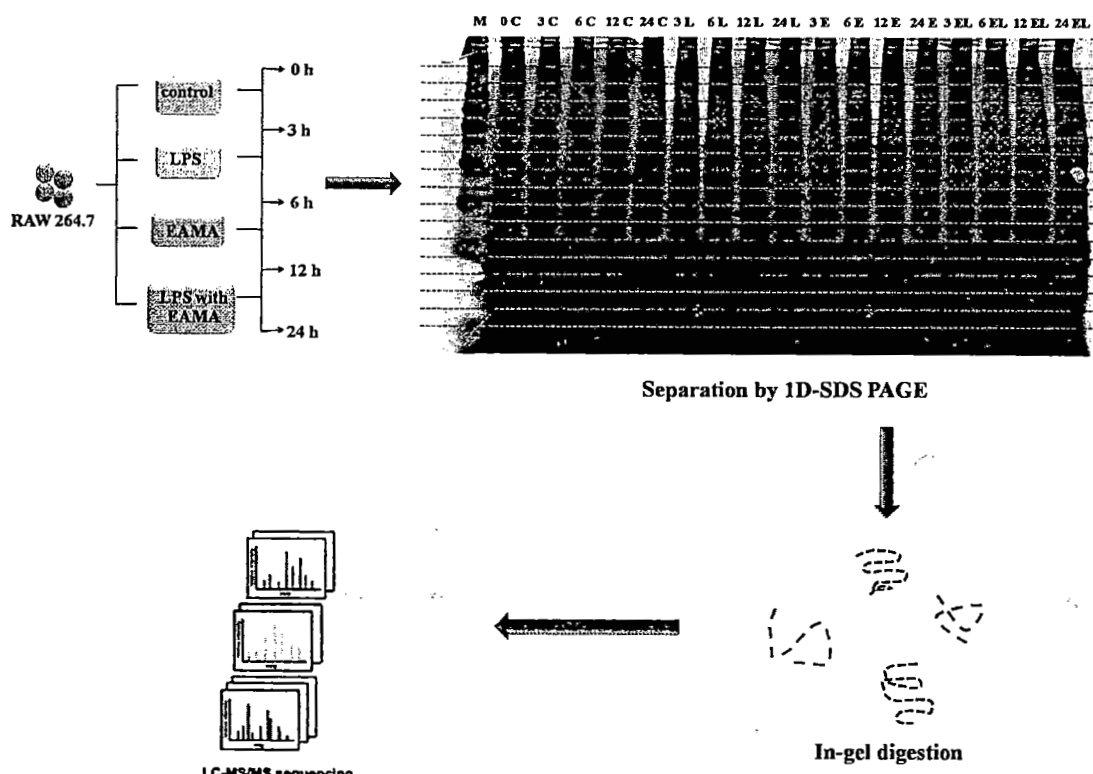
bicarbonate ที่มี 100 mM iodoacetamide ทึ้งไป และเติม 100% acetronitrile ปริมาตร 200 μ l เขย่าที่อุณหภูมิห้องเป็นเวลา 5 นาที แล้วดูด acetronitrile ออก (ทำซ้ำ 2 รอบ) จากนั้นย่อเย็นด้วย 10 ng trypsin ใน 10mM ammonium bicarbonate ที่มี 50% acetronitrile ปริมาตร 20 μ l บ่มที่ อุณหภูมิห้องเป็นเวลา 20 นาทีก่อนเติม 30% acetronitrile ปริมาตร 20 μ l แล้วบ่มที่อุณหภูมิห้องเป็นเวลา 3 ชั่วโมงหรือ 1 คืน ต่อมากดูดของเหลวแต่ละตัวอย่างใส่ใน 96-well plate อันใหม่ (1 ตัวอย่าง ต่อ 1 หลุม) จากนั้นเติมสารละลาย 50% acetronitrile ที่มี 0.1% formic acid ปริมาตร 30 μ l ใน 96-well plate อันเดิม เขย่าที่อุณหภูมิห้องเป็นเวลา 10 นาที ดูดตัวอย่างแต่ละชนิดใส่ใน 96-well plate อันใหม่ (ทำซ้ำอีก 2 รอบ) ทำตัวอย่างให้แห้งด้วย incubator ที่อุณหภูมิ 40°C เป็นเวลา 3-4 ชั่วโมง หรือ 1 คืน นำตัวอย่างที่ได้เก็บรักษาที่ -20°C รอการนำไปวิเคราะห์ผลด้วย LC/MS/MS

ได้ทำการเตรียมเพปไทด์ตัวอย่างที่จะนำมาทำการวิเคราะห์ผลด้วยเทคนิค LC-MS-MS ทั้งหมด 289 ตัวอย่าง

2.2.8 การวิเคราะห์ผลด้วยเครื่อง LC-MS/MS

แยกเพปไทด์ด้วย HPLC ชนิด reverse-phase chromatography โดยใช้คอลัมน์ C18 (200 μ m x 5 mm) และใช้ flow rate เท่ากับ 1 μ l/min โดย mobile phase ใช้กราเดินของ 10% (v/v) acetronitrile ใน 0.1% formic acid ถึง 70% (v/v) acetronitrile ใน 0.1% formic acid ในเวลา 13 นาที จากนั้นเปลี่ยนเป็น 90% acetoneitrile (v/v) ใน 0.1% formic acid เป็นเวลา 15 นาที

ขั้นตอนการศึกษาสรุปไว้ในแผนภาพด้านล่าง



2.2.9 การวิเคราะห์ปริมาณการแสดงออกและชนิดของโปรตีน

นำผลจาก LC-MS/MS มาวิเคราะห์ปริมาณการแสดงออกของเพปไทด์ด้วยโปรแกรม Decyder MS (DeCyderMS, GE Healthcare) จากนั้นนำผลจากโปรแกรม DeCyder MS มาวิเคราะห์ชนิดของ

โปรตีนด้วย MASCOT (Matrix Science, London, UK) โดยใช้ฐานข้อมูลจาก NCBI โดยตั้งค่าดังนี้

Taxonomy : mammals

Enzyme : trypsin

Missed cleavages : 1

Fixed modifications : carbamidomethyl

Variable modifications : oxidation

Peptide tolerance : 1.2 Da

Peptide charge : 1+, 2+ and 3+

2.2.10 การสกัด RNA

ทำการแบ่งเซลล์ลงในจานเพาะเลี้ยงเซลล์ขนาด 60 มม. (1×10^6 เซลล์/จาน) บ่มเซลล์ที่อุณหภูมิ 37 °C นาน 18-24 ชั่วโมง แล้วเติมอาหารเลี้ยงเซลล์ที่มีส่วนสกัดเอทิลอะซิตอฟทีความเข้มข้น 6.25, 12.5, 25, 50 และ 100 $\mu\text{g}/\text{mL}$ ทั้งที่มี LPS และไม่มี LPS นำไปบ่มที่อุณหภูมิ 37 °C เป็นเวลา 9 ชั่วโมง ก่อนดูดอาหารเลี้ยงเซลล์ทิ้ง และทำการซูบเก็บเซลล์ด้วยสารละลาย Tri reagent จำนวน 1 mL ก่อนทำการสกัด RNA ทั้งหมดของเซลล์ตามวิธีที่ผู้ผลิตแนะนำ (MRC) โดยมีวิธีดังนี้ เติมคลอโรฟอร์มจำนวน 0.2 mL และ ผสมให้เข้ากัน โดยการกลับหลอดไปมาเป็นเวลา 15 วินาที และตั้งทิ้งไว้ที่อุณหภูมิห้อง 5 นาที นำไปปั่น เหวี่ยงที่ 12,000 $\times g$ ที่อุณหภูมิ 4 °C เป็นเวลา 15 นาที จากนั้นทำการดูดสารละลายส่วนใส่ด้านบนใส่หลอดใหม่ แล้วเติมไอโซโพรา-นอลจำนวน 0.5 mL ผสมให้เข้ากัน ตั้งทิ้งไว้ที่อุณหภูมิห้อง 5 นาที นำไปปั่น เหวี่ยงที่ 12,000 $\times g$ ที่อุณหภูมิ 4 °C เป็นเวลา 15 นาที แล้วล้างตะกรอน RNA ด้วย 75% เอทานอล ก่อน นำไปปั่นเหวี่ยงที่ 12,000 $\times g$ ที่อุณหภูมิ 4 °C เป็นเวลา 15 นาที นำหลอดบรรจุ RNA เข้าเครื่อง heat block ที่อุณหภูมิ 55 °C เพื่อรอเหยียบ เอทานอล ก่อนเติมน้ำปราศจาก RNase ปริมาตร 50 μL แล้วบ่มที่ อุณหภูมิ 55 °C เป็นเวลา 10 นาที เพื่อให้ RNA ละลายได้ดีขึ้น ทำการวัดปริมาณ RNA ที่ได้ นำไปวัดค่า การดูดกลืนแสงที่ 260 และ 280 nm ด้วยเครื่อง UV/VIS Spectrophotometer โดย 1 A_{260} เท่ากับ 40 $\mu\text{g}/\text{mL}$ ของ RNA

2.2.11 การวิเคราะห์ปริมาณ mRNA ด้วยเทคนิค quantitative reverse transcription-polymerase chain reaction (qRT-PCR)

ปฏิกริยาสำหรับการสังเคราะห์ cDNA ประกอบด้วย RNA จำนวน 2 μg , 3U AMV reverse transcriptase, 1X buffer [50 mM Tris-HCl (pH 8.3), 50 mM KCl, 10 mM MgCl₂, 0.5 mM spermidine และ 10 mM DTT], 0.083 mM oligo (dT)₁₅ primer, 0.67 mM dNTPs, 20 U RNase inhibitor และเติมน้ำปราศจาก RNase และ DNase ให้มีปริมาตรสุดท้ายเป็น 30 μL สภาพที่ใช้สังเคราะห์ cDNA คือ 42°C นาน 45 นาที และ 99 °C นาน 5 นาที จากนั้นนำ cDNA ที่ได้มาระบบวิเคราะห์ปริมาณ mRNA ด้วย เทคนิค Real-Time RT-PCR โดยใช้ SYBR Green และไฟรเมอร์เจพเษต์อยู่ต่างๆ ดังตารางที่ 2-1

ตารางที่ 2-1 ลำดับเบสของไฟรเมอร์ ขนาดของผลผลิต และเลข Accession ในการทำปฏิกิริยา qRT-PCR

Target	Primer sequences	Product size (bp)	Accession no.
Apr3	5'-TTGGCCAACACCTTCCGTGG-3' (forward) 5'-TGGGCTTCCAGTGCTATTGC-3' (reverse)	162	NM027855.3
Tk1	5'-CTGTGAAATGATGGCCAACGAGG-3' (forward) 5'-CTCTCGTGTAGGCAGCTTCTCG-3'(reverse)	171	NM009387.2
Pts	5'-CGAATGGCACGGGCACAAAC-3' (forward) 5'-GTACGGCACATCCAGGTCCAG-3' (reverse)	161	NM011220.2
iNOS	5'-GCACAGCACAGGAAATGTTCAGCAC-3' (forward) 5'-AGCCAGCGTACCGGATGAGC-3' (reverse)	156	NM010927.3
HO-1	5'-GGCCCTGGAAGAGGAGATAGAGCG-3' (forward) 5'-GCTGGCGTGCAAGGGATGATTTC-3'(reverse)	153	NM010442.2
EF-2	5'-CTGAAGCGGCTGGCTAACGCTGA-3' (forward) 5'-GGGTCAGATTTCTTGATGGGGATG-3' (reverse)	155	NM007907.2

ปฏิกิริยาสำหรับวิเคราะห์ปริมาณ mRNA ประกอบด้วย 2X Prime Q-Master Mix with SYBR Green I จำนวน 10 μL, 10 μM Forward primer จำนวน 0.4 μL, 10 μM Reverse primer จำนวน 0.4 μL, cDNA จำนวน 1 μL และปรับปริมาตรรวมให้เป็น 20 μL ด้วยน้ำปราศจาก DNase และ RNase สภาพที่ใช้ในปฏิกิริยา PCR คือ 95 °C นาน 5 นาที จำนวน 1 รอบ 95 °C นาน 30 วินาที, 60 °C นาน 30 วินาที, 72 °C นาน 30 วินาที จำนวน 40 รอบ ในเครื่อง real-time PCR (iQ5 Real-Time PCR detection system, BIO-RAD, U.S.A.) และวิเคราะห์หาค่า cycle of threshold (C_T) ของแต่ละปฏิกิริยา (Giulietti et al., 2001) จากนั้นนำมาคำนวณหา copy number ของ mRNA สำหรับแต่ละยีน จากกราฟ มาตรฐานของพลาสมิดที่มีชิ้น cDNA เป้าหมายของยีน ซึ่งแสดงผลในรูปของอัตราส่วนของ copy number ของยีนเป้าหมายต่อ EF-2

2.2.12 วิเคราะห์ความแตกต่างในรูปแบบการแสดงออกของโปรตีน
เปรียบเทียบรูปแบบการแสดงออกของเพปไทด์ของโปรตีนแต่ละชนิดในกลุ่มตัวอย่างที่สัมผัสด้วย LPS อย่างเดียวกับกลุ่มที่สัมผัสด้วย LPS ร่วมกับสาร EAMA โดยใช้วิเคราะห์ค่าทางสถิติด้วย Student's t-test ($p < 0.1$)

บทที่ 3

ผลการทดลอง

3.1 การวิเคราะห์โปรตีโอมิกส์

การศึกษาโปรไฟล์ของการแสดงออกของโปรตีนในแมคโครฟ้าจ RAW 264.7 ที่สัมผัสกับ LPS ในสภาวะที่มีและไม่มีสาร EAMA ทำการวิเคราะห์โปรตีโนมที่เวลา 0, 3, 6, 12 และ 24 ชั่วโมงหลังสัมผัสสารโดยเทคนิค GeLC-MS และวิเคราะห์ปริมาณการแสดงออกของเพปไทด์ด้วยโปรแกรม Decyder MS และวิเคราะห์ชนิดของโปรตีนด้วย MASCOT

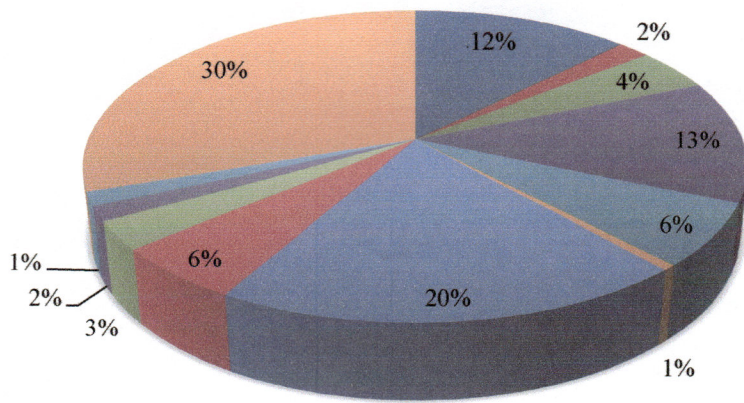
3.1.1 การระบุชนิดของโปรตีน

จากการทดลองสามารถระบุชนิดของโปรตีนได้โดยเทคนิค GeLC-MS จำนวนทั้งหมด 2,429 ชนิด และเมื่อทำการแบ่งกลุ่มของโปรตีนโดยยึดอ่อนโทโลยี (gene ontology, GO) พบว่ามีโปรตีนจำนวน 1,100 ชนิดที่สามารถให้รายละเอียดของโปรตีน ที่สังเคราะห์จากยีนนั้นในเซลล์ ในด้านต่างๆ คือ ตำแหน่งของค์ประกอบภายในเซลล์ เช่นหน้าที่ระดับโมเลกุล กระบวนการชีวภาพ โดย STRAP (Software Tool for Researching Annotations of Proteins). และระบุความเกี่ยวข้องในวิถีทางชีวภาพ โดยโปรแกรม Panther

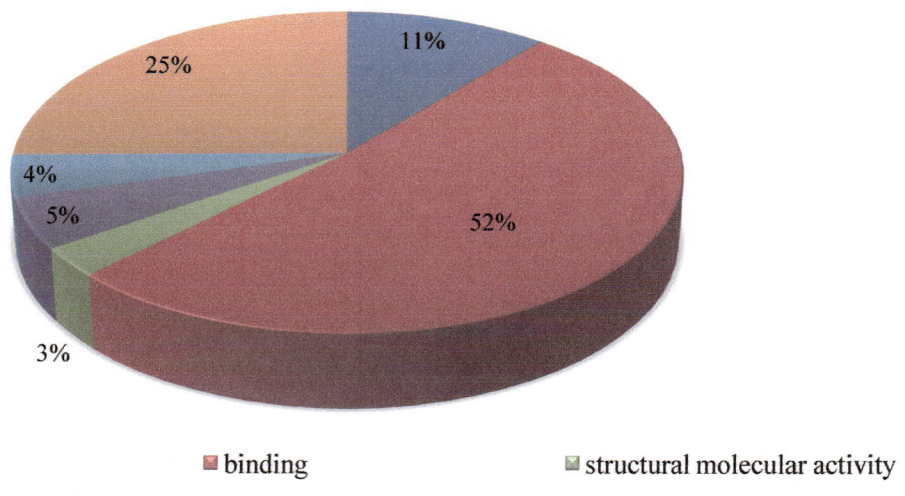
โปรตีนทั้งหมดนี้สามารถแบ่งได้เป็น 6 กลุ่มตามตำแหน่งของค์ประกอบภายในเซลล์ดังนี้ 1) นิวเคลียสมี 20% 2) เยื่อพลาสม่า (plasma membrane) มี 13% 3) ไซโทพลาซึม (cytoplasm) มี 12% 4) เอนโดพลาسمิกเรติคูลัม (endoplasmic reticulum) มี 3% 5) เพอรอกซิโซม (peroxisome) ไม่ติดค่อนเดรีย (mitochondria) และไซโตสเกลิตัน (cytoskeleton) มี 6% 6) ไรบอโซม (ribosome) เอนโดไซม (endosome) และสารประกอบเชิงซ้อนกับสารมหโมเลกุล (macromolecular complex) มี 6% แต่ มีโปรตีนจำนวน 30 % ที่เป็นองค์ประกอบในส่วนอื่นของเซลล์ รูปที่ 3-1 แสดงแผนภาพสรุปการแบ่งโปรตีนตามตำแหน่งของค์ประกอบภายในเซลล์

การแบ่งโปรตีนเหล่านี้ตามหน้าที่ระดับโมเลกุลสามารถแบ่งได้ดังนี้ 1) หน้าที่เกี่ยวกับการจับ (binding activity) มี 52% 2) หน้าที่เร่งปฏิกริยา (catalytic activity) มี 25% 3) หน้าที่เป็นโมเลกุลในการส่งสัญญาณ (molecular transducer activity) มี 5% 4) หน้าที่ควบคุมเอนไซม์ (enzyme regulator activity) มี 4% และ 5) หน้าที่เป็นโมเลกุลโครงสร้าง มี 3% รูปที่ 3-2 แสดงแผนภาพสรุปการแบ่งโปรตีนตามหน้าที่ระดับโมเลกุล

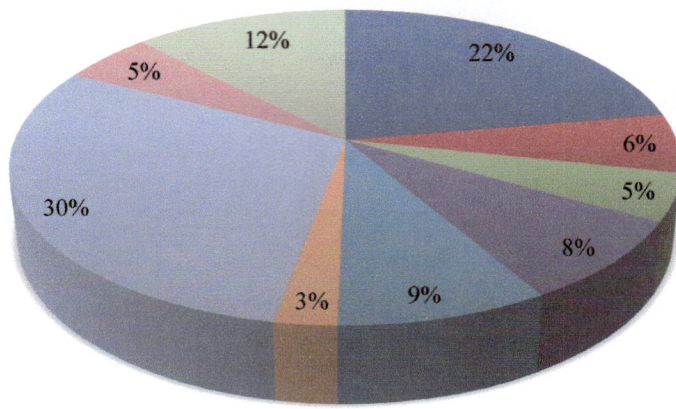
การแบ่งโปรตีนเหล่านี้ตามกระบวนการชีวภาพ แสดงในรูปที่ 3-3 พบว่าโปรตีนทั้ง 1,100 ชนิดนี้ สามารถแบ่งเป็น 9 กลุ่ม ดังนี้ 1) เกี่ยวข้องกับกระบวนการ reproduction มี 30% 2) เกี่ยวข้องกับกระบวนการ regulation มี 22% 3) เกี่ยวข้องกับการมีปฏิสัมพันธ์ระหว่างเซลล์ มี 9% 4) เกี่ยวข้องกับกระบวนการเจริญเติบโต (development process) มี 9% 5) เกี่ยวข้องกับกระบวนการเมtabolic process) มี 6% 6) เกี่ยวข้องกับกระบวนการ localization มี 5% 7) เกี่ยวข้องกับการตอบสนองต่อสิ่งกระตุ้น (response to stimulus) มี 5% 8) เกี่ยวข้องกับระบบภูมิคุ้มกัน (immune system) มี 3% และ 9) โปรตีนที่ยังไม่ทราบหน้าที่ มี 12 %



รูปที่ 3-1 การแสดงออกของโปรตีนในเซลล์เมื่อแบ่งตามตำแหน่งองค์ประกอบภายในเซลล์โดย STRAP



รูปที่ 3-2 การแสดงออกของโปรตีนในเซลล์เมื่อแบ่งตามหน้าที่ระดับโมเลกุลภายในเซลล์โดย STRAP



- regulation
- localization
- interaction with cells and organisms
- reproduction
- other
- metabolic process
- developmental process
- immune system process
- response to stimulus

รูปที่ 3-3 การแสดงออกของโปรตีนในเซลล์เมื่อแบ่งตามกระบวนการชีวภาพภายในเซลล์โดย STRAP

โปรตีนทั้งหมด 2,429 ชนิดที่ถูกระบุโดยเทคนิค GeLC-MS พบร่วมกับใช้โปรแกรม Panther สามารถระบุโปรตีนได้ 456 ชนิด โดยเกี่ยวข้องกับวิถีทางชีวภาพต่างๆ จำนวน 68 วิถี ดังแสดงในตารางที่ 3-1

ตารางที่ 3-1 เบอร์เซ็นต์ของโปรตีนในวิถีต่างๆ โดยโปรแกรม Panther

Pathway	Protein hit	Percent
Unclassified	381	83.6
PDGF signaling pathway	8	1.8
Wnt signaling pathway	7	1.5
Inflammation mediated by chemokine and cytokine signaling pathway	6	1.3
Apoptosis signaling pathway	6	1.3
Heterotrimeric G-protein signaling pathway-Gq alpha and Go alpha mediated pathway	6	1.3
Integrin signaling pathway	5	1.1
Interleukin signaling pathway	5	1.1

ตารางที่ 3-1 เปอร์เซ็นต์ของโปรตีนในวิถีต่างๆ โดยโปรแกรม Panther (ต่อ)

Pathway	Protein hit	Percent
TGF-beta signaling pathway	5	1.1
EGF receptor signaling pathway	5	0.9
Cytoskeletal regulation by Rho GTPase	4	0.9
Endothelin signaling pathway	4	0.9
B cell activation	4	0.9
Insulin/IGF pathway-protein kinase B signaling cascade	4	0.9
Muscarinic acetylcholine receptor 1 and 3 signaling pathway	4	0.9
Huntington disease	3	0.7
Angiogenesis	3	0.7
Heterotrimeric G-protein signaling pathway-Gi alpha and Gs alpha mediated pathway	3	0.7
T cell activation	3	0.7
p53 pathway	3	0.7
Parkinson disease	3	0.7
VEGF signaling pathway	3	0.7
Glycolysis	3	0.7
Transcription regulation by bZIP transcription factor	3	0.7
General transcription regulation	3	0.7
De novo purine biosynthesis	3	0.7
Insulin/IGF pathway-mitogen activated protein kinase kinase/MAP kinase cascade	3	0.7
Metabotropic glutamate receptor group I pathway	3	0.7
Cadherin signaling pathway	3	0.4
FGF signaling pathway	2	0.4
PI3 kinase pathway	2	0.4
Nicotinic acetylcholine receptor signaling pathway	2	0.4
Ras Pathway	2	0.4
Metabotropic glutamate receptor group III pathway	2	0.4

ตารางที่ 3-1 เปอร์เซ็นต์ของโปรตีนในวิถีต่างๆ โดยโปรแกรม Panther (ต่อ)

Pathway	Protein hit	Percent
Fructose galactose metabolism	1	0.2
Cholesterol biosynthesis	1	0.2
Vasopressin synthesis	1	0.2
ATP synthesis	1	0.2
Circadian clock system	1	0.2
Pentose phosphate pathway	1	0.2
Mannose metabolism	1	0.2
Asparagine and aspartate biosynthesis	1	0.2
Triacylglycerol metabolism	1	0.2

3.1.2 รูปแบบการแสดงออกของโปรตีนในเซลล์เมคโครฟ้าจโดยโปรแกรม MeV

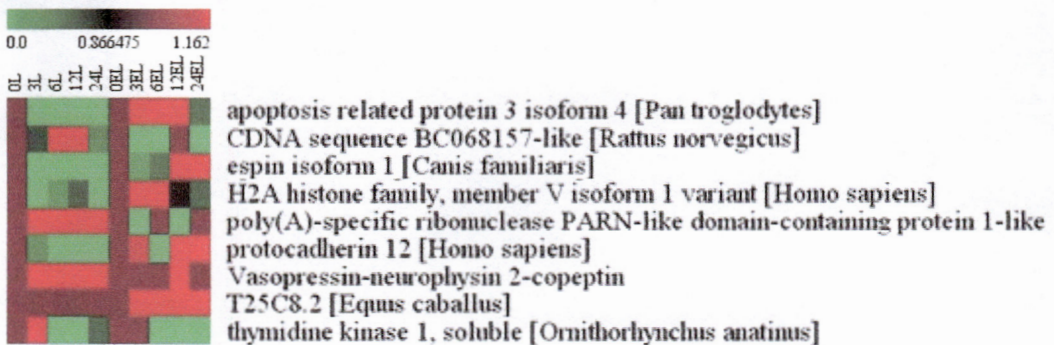
ข้อมูลโปรตีนถูกวิเคราะห์โดยโปรแกรม MeV (MultiExperiment Viewer) เพื่อที่จะเปรียบเทียบรูปแบบการแสดงออกของโปรตีนเนื่องจากผลของ LPS และสาร EAMA ในลักษณะที่เข้ากับเวลาโดยใช้ Student's *t* test และพิจารณาที่ค่า $p < 0.05$ จึงมีนัยสำคัญทางสถิติ แผนที่ความร้อน (heatmap) ที่สร้างจากโปรแกรม MeV ที่แสดงการควบคุมโปรตีนแบบบวกและลบ เพื่อที่จะให้เห็นรูปแบบการแสดงออกโดยทำการเปรียบเทียบระหว่างสภาวะที่สัมผัส LPS อย่างเดียว กับสภาวะที่สัมผัส LPS และสาร EAMA สภาวะที่สัมผัส LPS อย่างเดียว กับสภาวะที่สัมผัสสาร EAMA อย่างเดียว และสภาวะที่สัมผัส EAMA อย่างเดียว กับสภาวะควบคุมที่เซลล์ไม่ได้สัมผัสสารทดสอบได้

3.1.2.1 การเปรียบเทียบระหว่างสภาวะที่สัมผัส LPS อย่างเดียว กับสภาวะที่สัมผัส LPS และสาร EAMA

รูปที่ 3-4 แสดงแผนที่ความร้อนเปรียบเทียบการแสดงออกของโปรตีน 9 ชนิดที่มีรูปแบบการแสดงออกที่แตกต่างระหว่างสภาวะที่สัมผัส LPS อย่างเดียว กับสภาวะที่สัมผัส LPS และสาร EAMA พบว่าโปรตีน 5 ชนิดจาก 9 ชนิดที่ถูกกระตุ้น (ควบคุมแบบบวก) และโปรตีน 4 ชนิดที่ถูกยับยั้งการแสดงออก (ควบคุมแบบลบ) โปรตีนเหล่านี้เป็นโปรตีนที่เกี่ยวข้องกับโครงร่างค้ำจุนเซลล์ (cytoskeleton) การเพิ่มจำนวนเซลล์ (cell proliferation) กระบวนการเออนโดไซติซิส (endocytosis) การตายของเซลล์แบบ apoptosis การส่งสัญญาณ (signal transduction) การยึดจับของเซลล์ (cell adhesion) และกระบวนการเมแทบอลิซึมของกรดนิวคลีอิก (nucleic acid metabolic process) ดังแสดงในตารางที่ 3-2

ตารางที่ 3-1 เปอร์เซ็นต์ของโปรตีนในวิถีต่างๆ โดยโปรแกรม Panther (ต่อ)

Pathway	Protein hit	Percent
5HT2 type receptor mediated signaling pathway	2	0.4
Alzheimer disease-amyloid secretase pathway	2	0.4
Thyrotropin-releasing hormone receptor signaling pathway	2	0.4
Oxytocin receptor mediated signaling pathway	2	0.4
Toll receptor signaling pathway	2	0.4
Oxidative stress response	2	0.4
Ionotropic glutamate receptor pathway	2	0.4
Histamine H1 receptor mediated signaling pathway	2	0.4
p53 pathway feedback loops 2	2	0.4
Heterotrimeric G-protein signaling pathway-rod outer segment phototransduction	2	0.4
Alpha adrenergic receptor signaling pathway	2	0.4
Axon guidance mediated by netrin	2	0.4
Arginine biosynthesis	2	0.4
Ubiquitin proteasome pathway	1	0.2
Muscarinic acetylcholine receptor 2 and 4 signaling pathway	2	0.4
Metabotropic glutamate receptor group II pathway	1	0.2
Beta2 adrenergic receptor signaling pathway	1	0.2
Beta2 adrenergic receptor signaling pathway	1	0.2
Axon guidance mediated by semaphorins	1	0.2
FAS signaling pathway	1	0.2
Hypoxia response via HIF activation	1	0.2
p53 pathway by glucose deprivation	1	0.2
De novo pyrimidine ribonucleotides biosynthesis	1	0.2
TCA cycle	1	0.2
General transcription by RNA polymerase I	1	0.2
Salvage pyrimidine ribonucleotides	1	0.2



รูปที่ 3-4 แผนที่ความร้อนแสดงการแสดงออกของโปรตีนในเซลล์ในสภาวะที่สัมผัส LPS อย่างเดียว (L) กับสภาวะที่สัมผัส LPS และสาร EAMA (EL) ในเซลล์แมกโครฟagi RAW264.7 โดยโปรแกรม MeV

ຕາງរາທ 3-2 ໂປຣເສົານ໌ກາງແມ່ດອງລວມທີ່ແນຕັກຕ່າງປັນໃນສາງໜ້າສິນຜົນ ລົມ ອໍາທຳກ່າວທີ່ສື່ນຜົນ LPS ແລະສາກ EAMA

Protein name	Accession number	ID score	Peptide sequence	MH+	Function
apoptosis related protein 3 isoform 4 [Pan troglodytes]	gi 114576571	6.39	LGHARGR	769.088111	- cell cycle arrest - apoptosis
T25C8.2 [Equus caballus]	gi 194213328	5.7	KNLQQDPPNM VEDK	1669.43411	- embryo development ending in birth or egg hatching - growth - receptor-mediated endocytosis
espin isoform 1 [Canis familiaris]	gi 73994212	8.82	ACATTATGR	907.5965281	- actin filament network formation - locomotory behavior - negative regulation of cytoskeleton organization - parallel actin filament bundle assembly - sensory perception of sound
H2A histone family, member V isoform 1 variant [Homo sapiens]	gi 62087582	10.55	EGARPGGGVG AENMAGGK	1670.399341	- nucleobase, nucleoside, nucleotide and nucleic acid metabolic process - organelle organization - establishment or maintenance of chromatin architecture
vasopressin-neurophysin 2-copeptin	gi 128087	14.06	RVXASDR	805.9045411	- positive regulation of cAMP biosynthetic process - vasoconstriction

ตารางที่ 3-2 โปรดังนี้มีการแสดงผลลัพธ์จากการค้นหาในสิ่งของที่ต้องนับในสิ่งของที่ต้องนับ LPS อย่างเดียว กับสิ่งของที่ต้องนับ LPS และสาร EAMA (ต่อ)

Protein name	Accession number	ID score	Peptide sequence	MH+	Function
protocadherin-12 [Homo sapiens]	gi 119582302	3.7	QRHLNGK	850.486973	- calcium-dependent cell-cell adhesion - glycogen metabolic process - homophilic cell adhesion - neuron recognition - signal transduction
thymidine kinase 1 [Ornithorhynchus anatinus]	gi 149582772	9.46	MGV/AWKGEGP SPR	1390.215368	- DNA replication - protein homotetramerization - pyrimidine base metabolic process - pyrimidine nucleoside salvage
poly(A)-specific ribonuclease PARN-like domain-containing protein 1-like [Sus scrofa]	gi 311243695	7.05	NVTKDWWK	988.99858674	- nucleic acid binding

3.1.2.2 การเปรียบเทียบระหว่างสภาวะที่สัมผัส LPS อย่างเดียว กับสภาวะควบคุม

รูปที่ 3-5 แสดงแผนที่ความร้อนเบรย์นที่แสดงการแสดงออกของโปรตีน 31 ชนิดที่มีรูปแบบการแสดงออกที่แตกต่างระหว่างสภาวะที่สัมผัส LPS อย่างเดียว กับสภาวะควบคุม พบร่วมโปรตีน 20 ชนิดจาก 31 ชนิดที่ถูกกระตุน และโปรตีน 10 ชนิดที่ถูกยกยั่งการแสดงออก ในขณะที่มีโปรตีน 1 ชนิดที่มีรูปแบบการควบคุมแบบผสม โปรตีนเหล่านี้เป็นโปรตีนที่เกี่ยวข้องกับโครงสร้างคั้นจุนเซลล์ การเพิ่มจำนวนเซลล์กระบวนการซ่อมดีเอ็นเอ (DNA repair) การตายของเซลล์แบบ apoptosis การส่งสัญญาณ การควบคุมการถอดรหัส (transcriptional regulation) การขนส่งลิพิด (lipid transport) การตอบสนองของภูมิคุ้มกัน (immune response) กระบวนการ proteolysis กระบวนการเมแทบอลิซึมของกรดนิวคลีอิก คาร์บอไฮเดรต โปรตีน และลิพิด การควบคุมการขนส่งอิเล็กตรอน และปฏิกิริยาออกซิเดทีฟฟอสฟอเรเลชัน (oxidative phosphorylation) ดังแสดงในตารางที่ 3-3



รูปที่ 3-5 แผนที่ความร้อนแสดงการแสดงออกของโปรตีนในเซลล์ในสภาวะที่สัมผัส LPS อย่างเดียว (L) กับสภาวะควบคุม(C) ในเซลล์เม็ดคราฟ่า RAW264.7 โดยโปรแกรม MeV

ตารางที่ 3-3 โปรดศึกษาการแสดงผลของสเปกตรัมในการพิสูจน์ว่าทั้งนี้เป็น LPS อย่างเดียว กับสิ่งใดๆ ก็ตามที่พบ

Protein	Accession number	ID score	Peptide sequence	MH+	Function
nebulin-related-anchoring protein [Sus scrofa]	gi 113205908	9.28	KPDTIKFTAVVD SPDLVHAK	2179.607	- actin cytoskeleton organization
YTH domain family, member 3, partial [Equus caballus]	gi 194214877	5.92	ASGDSRGGR	864.2562	-
barH-like 1 homeobox protein [Homo sapiens]	gi 14149728	2.66	LDKSGSNASSDS EYK	1584.829	- nucleobase, nucleoside, nucleotide and nucleic acid metabolic process - ectoderm development - nervous system development
chromosome 14 open reading frame 73 [Monodelphis domestica]	gi 126290447	6.84	GSPvSPK	669.5497	-
breast cancer 2, early onset [Canis lupus familiaris]	gi 61557477	3.01	FIPCGPGK	876.2018	- double-strand break repair via homologous recombination - regulation of S phase of mitotic cell cycle
oxysterol-binding protein-related protein 3 isoform 1 [Mus musculus]	gi 50510597	3.44	GILKYAK	792.042	- lipid transport
6-pyruvoyl tetrahydrobiopterin synthase precursor [Rattus norvegicus]	gi 8394115	17.15	NAAVGLR	698.5465	- cellular amino acid metabolic process - central nervous system development - tetrahydrobiopterin biosynthetic process

ตารางที่ 3-3 บีตานฟ์มการแสดงออกทางเด็กต่างกันในสภาวะที่สมมูล LPS อย่างเดียว กับสภาวะควบคุม (ต่อ)

Protein	Accession number	ID score	Peptide sequence	MH+	Function
rG63340 [Rattus norvegicus]	gi 149045152	6.47	TAASTPTR	806.4502	-
carabin [Homo sapiens]	gi 38348348	7.1	LAGAQAIFEAQ QLAGVR	1742.006	- Rab GTPase activator activity
mesencephalic astrocyte-derived neurotrophic factor-like [Callithrix jacchus]	gi 296225321	4.35	GXWHVGGR	866.4902	- response to unfolded protein - growth factor activity
regulator of nonsense transcripts 2 [Mus musculus]	gi 124487283	8.3	RILHSK	752.1244	- mRNA export from nucleus - nuclear-transcribed mRNA catabolic process, nonsense-mediated decay
vasopressin-neurophysin 2-copeptin	gi 128087	14.06	RVXASDR	805.9045	- positive regulation of cAMP biosynthetic process - vasoconstriction
sucrase-isomaltase, intestinal [Rattus norvegicus]	gi 6981536	13.7	INMYLPGDK	1063.603	- carbohydrate metabolic process - protein metabolic process
homeobox protein Mohawk [Homo sapiens]	gi 178057337	2.7	VPLVQQF	830.7069	- nucleobase, nucleoside, nucleotide and nucleic acid metabolic process - ectoderm development - nervous system development

ตารางที่ 3-3 บีบีตีนพื้นเมืองและดองออกซีเดตต์างกันในเชื้อแบคทีเรีย LPS อย่างเดียว กับเชื้อราจะควบคุม (ต่อ)

Protein	Accession number	ID score	Peptide sequence	MH+	Function
hCG2032850 [Homo sapiens]	gi 119588250	1.64	GSGGGGEAR	806.0693	-
CC-chemokine [Homo sapiens]	gi 1531983	4.11	SPTPKP	622.3218	- immune response
centaurin, delta 2, partial [Ornithorhynchus anatinus]	gi 149419743	18.22	VATPSGEIR	929.0409	- signal transduction
calcium-binding mitochondrial carrier protein SCaMC-1 [Mus musculus]	gi 27369998	11	GITPNFMK	925.2556	- cation transport - phosphate transport - lipid transport - nucleobase, nucleoside, nucleotide and nucleic acid transport - phosphate metabolic process - nucleobase, nucleoside, nucleotide and nucleic acid metabolic process - lipid metabolic process
Ia-related protein 6 isoform 1 [Homo sapiens]	gi 37537710	14.04	MAQSGGEARPQ PKTAVQIR	1970.469	- nucleobase, nucleoside, nucleotide and nucleic acid metabolic process
CASP8-associated protein 2 [Homo sapiens]	gi 6912288	3.35	EGKPHSDK	894.7622	- apoptosis - signal transduction

สำนักหอสมุด มหาวิทยาลัยบูรพา
ค.บ.สนสุข อ.เมือง จ.ชลบุรี 2013।

ตารางที่ 3-3 โปรตีนที่มีการแสวงหาอย่างต่อเนื่องในส่วนของ LPS อย่างเดียว กับส่วนของค่าบ่ำ (ต่อ)

Protein	Accession number	ID score	Peptide sequence	MH+	Function
tyrosine-protein phosphatase non-receptor type substrate 1-like [Mus musculus]	gi 309266712	7.51	MSSVVAIK	850.3717	<ul style="list-style-type: none"> - actin cytoskeleton reorganization - blood coagulation - interferon-gamma-mediated signaling pathway - negative regulation of insulin receptor signaling pathway - regulation of endocytosis - regulation of interferon-gamma-mediated signaling pathway - regulation of type I interferon-mediated signaling pathway - type I interferon-mediated signaling pathway
period homolog 1 (Drosophila), partial [Ornithorhynchus anatinus]	gi 149544118	1.19	LTPYAMK	839.514	<ul style="list-style-type: none"> - regulation of transcription, DNA-dependent
cation-independent mannose-6-phosphate receptor [Rattus norvegicus]	gi 6981078	1.45	GISMGTPLIR	1189.047	<ul style="list-style-type: none"> - intracellular protein transport - endocytosis

61637
13137
2004
B3

301496

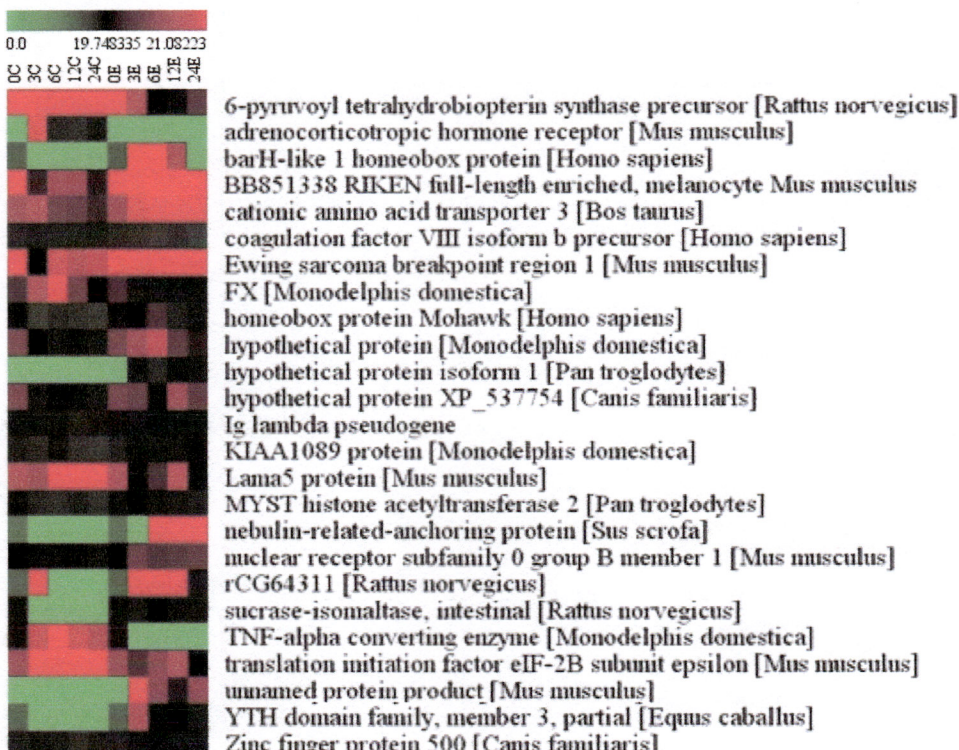
ตารางที่ 3-3 ปฏิสัมพันธ์ทางเคมีของเชิงกริ่งในสภาวะที่ถูกน้ำ LPS อิ่มตัวเดียว กับส่วนราชการบุคคล (ต่อ)

Protein	Accession number	ID score	Peptide sequence	MH+	Function
CDGSH iron-sulfur domain-containing protein 1 [Bos taurus]	gi 77404223	4.55	SMTSSVR	768.0611	<ul style="list-style-type: none"> - regulating maximal capacity for electron transport and oxidative phosphorylation - Fe-S cluster shuttling and/or in redox reactions
interleukin 2 {N-terminal} [human, Peptide Recombinant Partial, 23 aa]	gi 385717	7.95	ATSXSTKK	849.975	<ul style="list-style-type: none"> - immune response - negative regulation of inflammatory response - negative regulation of lymphocyte proliferation - positive regulation of activated T cell proliferation - positive regulation of immunoglobulin secretion - positive regulation of isotype switching to IgG isotypes - positive regulation of transcription from RNA polymerase II promoter - positive regulation of tyrosine phosphorylation of Stat5 protein - regulation of T cell homeostatic proliferation

ตารางที่ 3-3 โปรดตั้งรูปมีการแสดงของห้องต่างกันในสภาวะที่สมมติ LPS อย่างเดียว กับสภาวะควบคุม (ท่อ)

Protein	Accession number	ID score	Peptide sequence	MH+	Function
hypothetical protein XP_537754 [Canis familiaris]	gi 73967289	7.71	MPKGNLPGK	945.1773	-
unnamed protein product [Mus musculus]	gi 74137803	6.26	NDLGGCNGTST MTVIK	1673.73	-
FAM111A protein [Homo sapiens]	gi 47939119	6.71	FHSPKK	744.5058	- proteolysis
BRCA2 [Ornithorhynchus anatinus]	gi 149635814	1.7	ELQEMR	823.1122	- nucleobase, nucleoside, nucleotide and nucleic acid metabolic process
UTP14, U3 small nucleolar ribonucleoprotein, homolog A (yeast) [Monodelphis domestica]	gi 126342348	14.72	DKLEAEK	832.4775	- rRNA processing
uncharacterized protein C2orf16-like [Oryctolagus cuniculus]	gi 291387009	7.56	TLQSLSER	1087.032	-

3.1.2.3 การเปรียบเทียบระหว่างสภาวะที่สัมผัสสาร EAMA อย่างเดียว กับสภาวะควบคุม
ทำการเปรียบเทียบโปรไฟล์ของโปรตีนในสภาวะที่สัมผัสสาร EAMA อย่างเดียว กับสภาวะ
ควบคุม พบร่วมโปรตีน 24 ชนิดที่มีรูปแบบการแสดงออกที่แตกต่างกัน (รูปที่ 3-6) พบร่วมโปรตีน 16 ชนิดที่ถูก
กระตุ้น และโปรตีน 7 ชนิดที่ถูกยับยั้งการแสดงออก ในขณะที่มีโปรตีน 1 ชนิดที่มีรูปแบบการควบคุมแบบ
ผสม โปรตีนเหล่านี้เป็นโปรตีนที่เกี่ยวข้องกับโครงสร้างค้ำจุนเซลล์ การยึดจับของเซลล์ การส่งสัญญาณ การ
ควบคุมการถอดรหัส กระบวนการ rRNA processing การขนส่งกรดอะมิโน (amino acid transport) การ
ตอบสนองของภูมิคุ้มกัน กระบวนการเมแทบอลิซึมของกรดนิวคลีอิก และกระบวนการเมแทabolizึมของ
GDP-mannose ดังแสดงในตารางที่ 3-4



รูปที่ 3-6 แผนที่ความร้อนแสดงการแสดงออกของโปรตีนในเซลล์ในสภาวะที่สัมผัส EAMA อย่างเดียว (E) กับ
สภาวะควบคุม(C) ในเซลล์แมคโครฟ้าจ RAW264.7 โดยโปรแกรม MeV

ตารางที่ 3-4 ปริมาณที่มีการแสดงออกที่แตกต่างกันในสิ่งที่สำคัญที่สัมผัสสาร EAMA อย่างเดียว กับสิ่งของควบคุม

Protein name	Accession number	ID score	Peptide sequence	MH+	Function
YTH domain family, member 3, partial [Equus caballus]	gi 194214877	5.92	ASGDSRGGR	864.2562	-
nuclear receptor subfamily 0 group B member 1 [Mus musculus]	gi 6671531	2.67	EAPEAHRR	966.5662	- nucleobase, nucleoside, nucleotide and nucleic acid metabolic process - sex determination
FX [Monodelphis domestica]	gi 126323104	5.53	VGVGMGGR	747.5376	'de novo' GDP-L-fucose biosynthetic process - GDP-mannose metabolic process - leukocyte cell-cell adhesion
TNF-alpha converting enzyme [Monodelphis domestica]	gi 126303867	11.07	KGVQCSDR	951.3859	- processing of tumor necrosis factor alpha - inflammatory response
coagulation factor VIII isoform b precursor [Homo sapiens]	gi 10518506	9.95	MRIQDPGK	944.9602	- acute phase - blood coagulation
cationic amino acid transporter 3 [Bos taurus]	gi 118151126	16.88	LWQALCR	944.8173	- amino acid transport - cellular amino acid and derivative metabolic process
sucrase-isomaltase, intestinal [Rattus norvegicus]	gi 6981536	13.7	INMYLPGDK	1063.603	- carbohydrate metabolic process - protein metabolic process
hypothetical protein isoform 1 [Pan troglodytes]	gi 114659086	2.67	MDTAAKAILEQ	1596.291	-

ຕົກຮາງທີ 3-4 ຂໍປະຕິບັດພື້ນຖານກາແສດອງອອກທີ່ແຕກຕ່າງໆໃນສາກາະທີ່ສັນແຜສາຮັກ EAMA ລົ່ມເຕີຍາ ກົບສາກວະຄວບຄຸມ (ຫລື)

Protein name	Accession number	ID score	Peptide sequence	MH+	Function
unnamed protein product [Mus musculus]	gi 773223	18.96	EVQLQQSGPXR	1285.076	
adrenocorticotropic hormone receptor [Mus musculus]	gi 6678820	3.41	ISTLPR	687.3332	- visual perception - sensory perception - cell surface receptor linked signal transduction - intracellular signaling cascade - cell-cell signaling
ewing sarcoma breakpoint region 1 [Mus musculus]	gi 56206935	15.28	GGPGGMFR	778.3652	- nucleic acid binding - nucleotide binding - zinc ion binding
lama5 protein [Mus musculus]	gi 20071526	5.02	ISFEK	623.9347	- cell-cell adhesion - protein localization
homeobox protein Mohawk [Homo sapiens]	gi 178057337	2.7	VPLVQQF	830.7069	- nucleobase, nucleoside, nucleotide and nucleic acid metabolic process - ectoderm development - nervous system development
translation initiation factor eIF-2B subunit epsilon [Mus musculus]	gi 26986557	14.22	VLHFQK	768.9831	- carbohydrate metabolic process - lipid metabolic process - protein metabolic process

ตารางที่ 3-4 [ปรับน้ำหนักและการแสดงออกโดยตัวถังกัณnineส่วนของสาร EAMA อย่างเดียว กับการควบคุม (ต่อ)

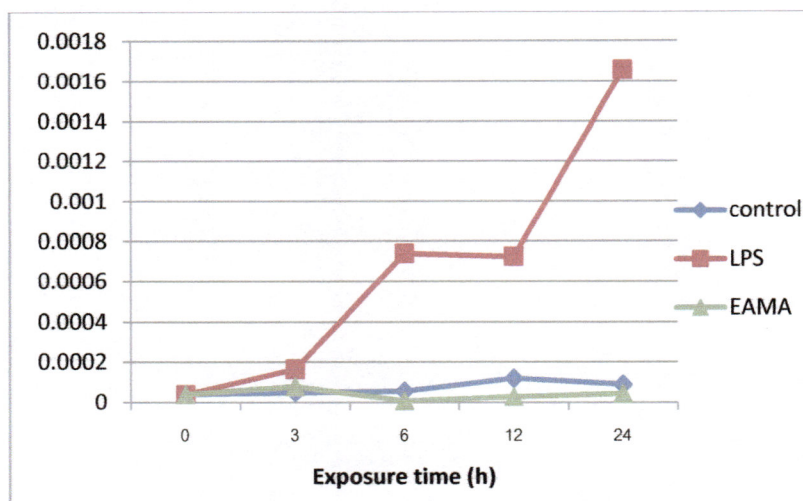
Protein name	Accession number	ID score	Peptide sequence	MH+	Function
6-pyruvyl tetrahydrobiopterin synthase precursor [Rattus norvegicus]	gi 8394115	17.15	NAAVGLR	698.5465	- cellular amino acid metabolic process - central nervous system development - tetrahydrobiopterin biosynthetic process
KIAA1089 protein [Monodelphis domestica]	gi 126322585	11.29	GIDVYRR	877.795	-
hypothetical protein [Monodelphis domestica]	gi 126324809	9.56	NILKPIGGK	941.5212	-
zinc finger protein 500 [Canis familiaris]	gi 73958144	12.01	GTRAAATGGPAR	1014.112	- transcriptional regulation
lg lambda pseudogene	gi 223260	8.26	ALAMFPDTK	993.2255	- innate immune response
nebulin-related-anchoring protein [Sus scrofa]	gi 113205908	9.28	KPDTIKFTAWD SPDLVHAK	2179.607	- actin cytoskeleton organization
barH-like 1 homeobox protein [Homo sapiens]	gi 14149728	2.66	LDKSGSNASSDS EYK	1584.829	- nucleobase, nucleoside, nucleotide and nucleic acid metabolic process - ectoderm development - nervous system development
hypothetical protein XP_537754 [Canis familiaris]	gi 73967289	7.71	MPKGNLPGK	945.1773	-
rG64311 [Rattus norvegicus]	gi 149046870	6.47	HFAHYFGQMRN LR	1694.144	-

ตารางที่ 3-4 ประตคุณพิมพ์การแสดงออกของแต่ละตัวอย่างในสื่อการแพทย์ที่มีผู้ผลิตสาร EAMA อย่างเดียว กับสิ่งที่ควบคุม (ต่อ)

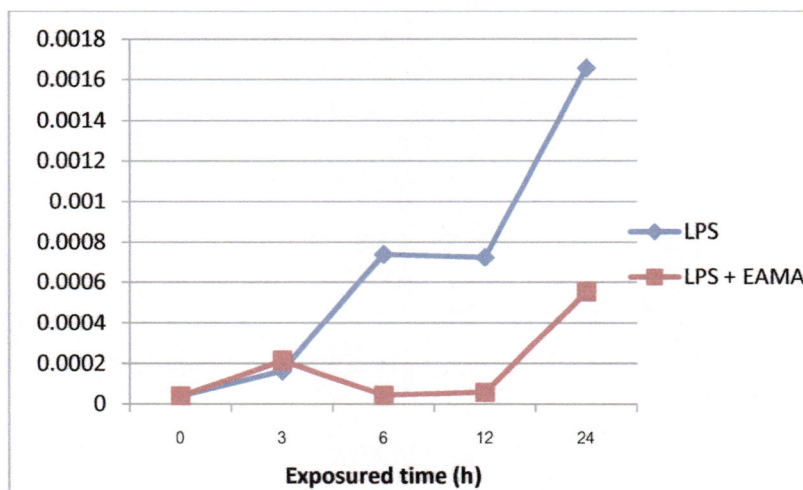
Protein name	Accession number	ID score	Peptide sequence	MH+	Function
MYST histone acetyltransferase 2 [Pan troglodytes]	gi 114669400	9.31	ELGSGK	592.6118	- sequence-specific DNA binding transcription factor activity - transferase activity, transferring acyl groups other than amino-acyl groups - zinc ion binding

3.2 การวิเคราะห์ประโยชน์การแสดงออกของยีน

ทำการศึกษาการแสดงออกของยีน iNOS และ HO-1 ซึ่งเป็นยีนที่มีการแสดงออกหลังจากถูกกระตุ้นด้วย LPS รูปแบบการแสดงออกถูกศึกษาโดยเทคนิค qRT- PCR เพื่อตรวจสอบปริมาณของ mRNA พบว่าการแสดงออกของยีน iNOS เพิ่มขึ้นตามเวลาหลังจากการกระตุ้นด้วย LPS เมื่อเปรียบเทียบกับเซลล์ควบคุม (control) แต่ในขณะที่สาร EAMA เพียงอย่างเดียวไม่สามารถหนีบยานำการแสดงออกของ iNOS (รูปที่ 3-7) เมื่อเซลล์สัมผัสกับ LPS และสาร EAMA พบร่วปริมาณ mRNA ของ iNOS ลดลง (รูปที่ 3-8)

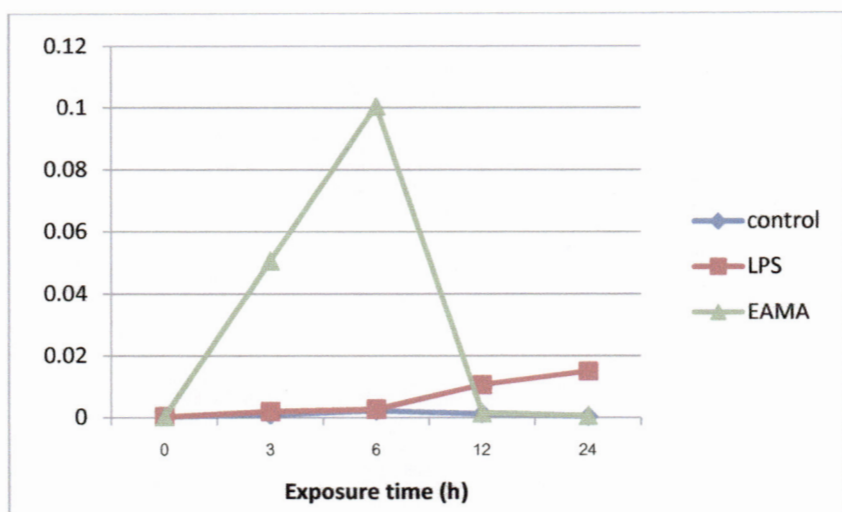


รูปที่ 3-7 รูปแบบการแสดงออกของยีน iNOS ในเซลล์แมคโครฟاج RAW 264.7

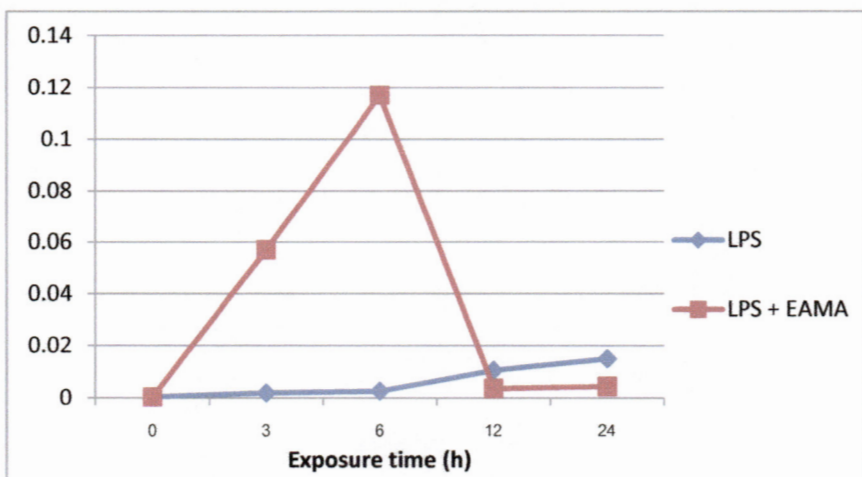


รูปที่ 3-8 รูปแบบการแสดงออกของยีน iNOS ในเซลล์แมคโครฟاج RAW 264.7 ที่ถูกหนีบยานำโดย LPS ในสภาวะที่มี และไม่มีสาร EAMA

ในเซลล์แมคโครฟاج RAW 264.7 ในสภาวะควบคุมไม่เพบการแสดงออกของยีน HO-1 ส่วนรูปแบบการแสดงออกของยีน HO-1 ในเซลล์ที่สัมผัสกับ LPS พบรูปแบบการแสดงออกของยีน HO-1 ที่เวลาตั้งแต่ 6 ชั่วโมงเป็นต้นไป (รูปที่ 3-9) ในขณะที่สาร EAMA เพียงอย่างเดียว สามารถเห็นได้ว่ามีการแสดงออกของยีน HO-1 ได้ตั้งแต่เวลา 3 ชั่วโมง สูงสุดที่เวลา 6 ชั่วโมง และกลับสู่ระดับปกติที่เวลาตั้งแต่ 12 ชั่วโมง เป็นต้นไป แต่เซลล์สัมผัสกับ LPS และสาร EAMA พบรูปแบบการแสดงออกของยีน HO-1 มีความคล้ายคลึงกับรูปแบบของการแสดงออกที่พบในเซลล์ที่สัมผัส LPS เพียงอย่างเดียว แต่มีปริมาณ mRNA ของ HO-1 สูงกว่า (รูปที่ 3-10)

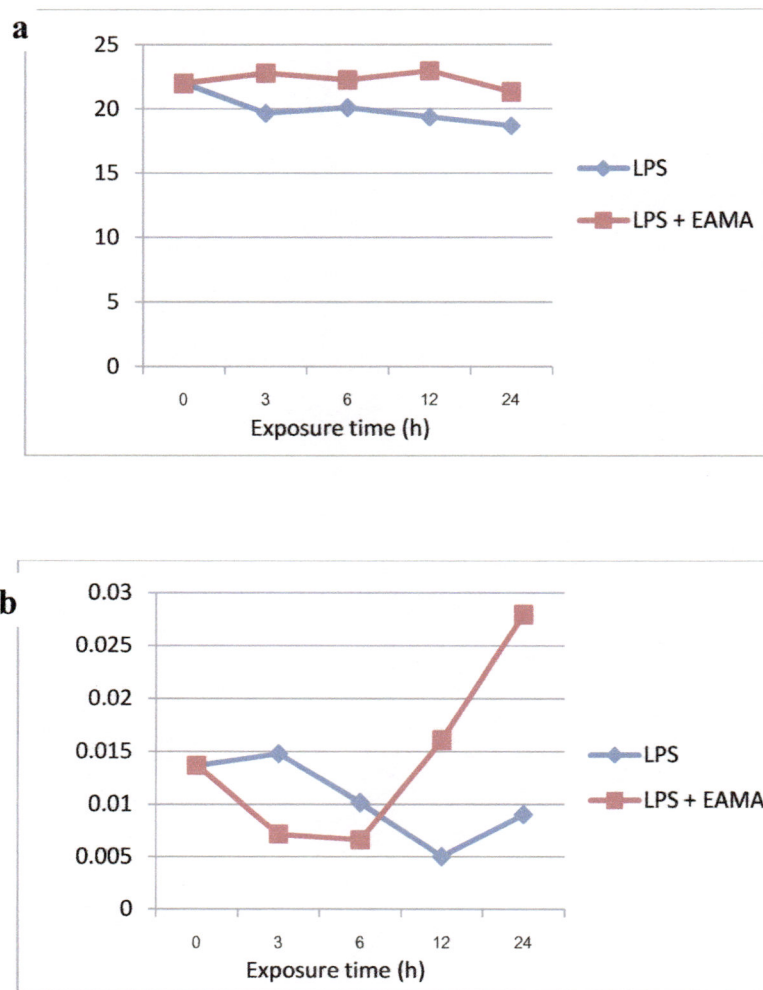


รูปที่ 3-9 รูปแบบการแสดงออกของยีน HO-1 ในเซลล์แมคโครฟاج RAW 264.7

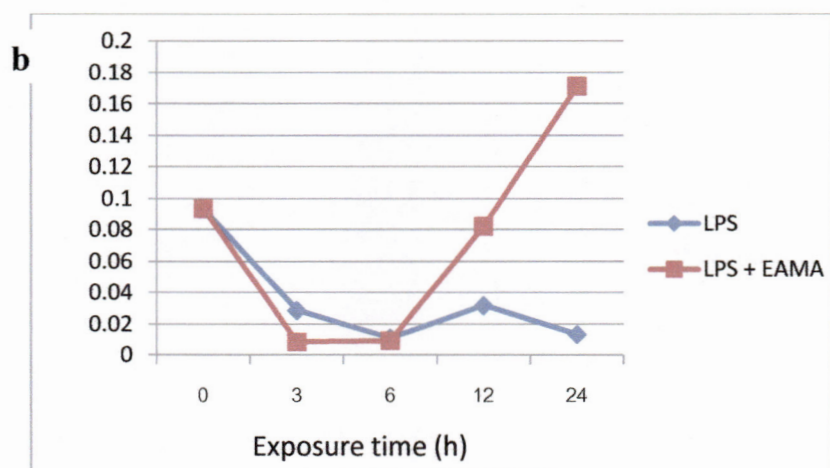
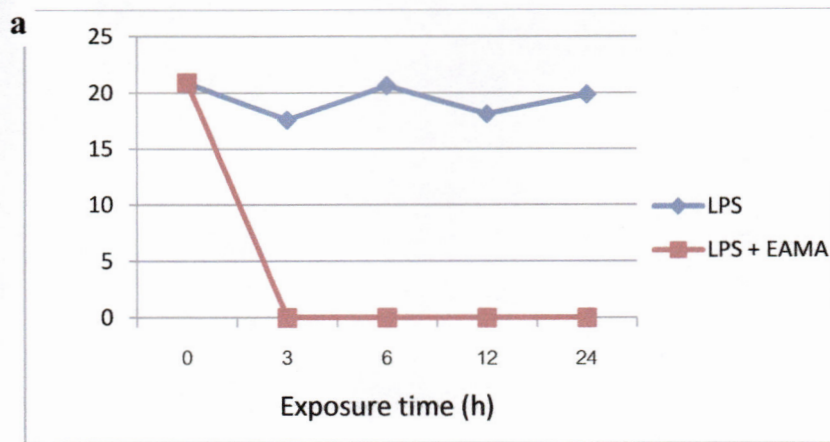


รูปที่ 3-10 รูปแบบการแสดงออกของยีน HO-1 ในเซลล์แมคโครฟاج RAW 264.7 ที่ถูกเห็นได้โดย LPS ในสภาวะที่มี และไม่มีสาร EAMA

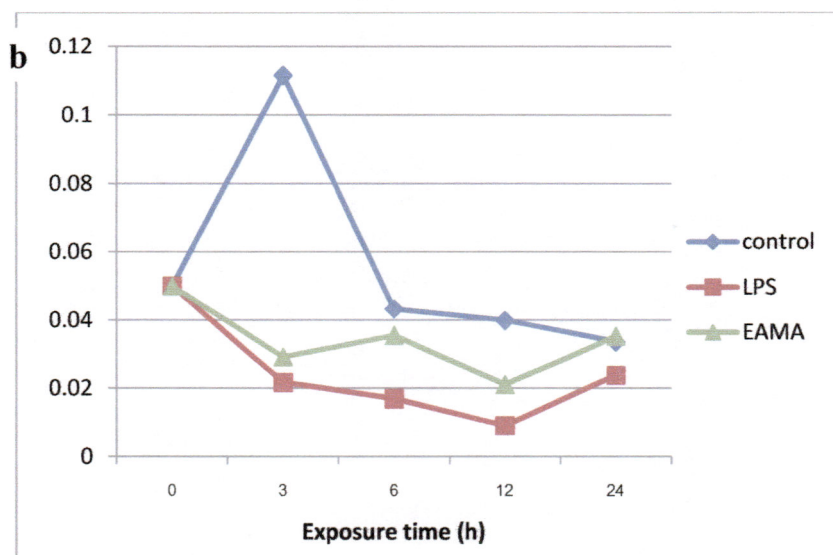
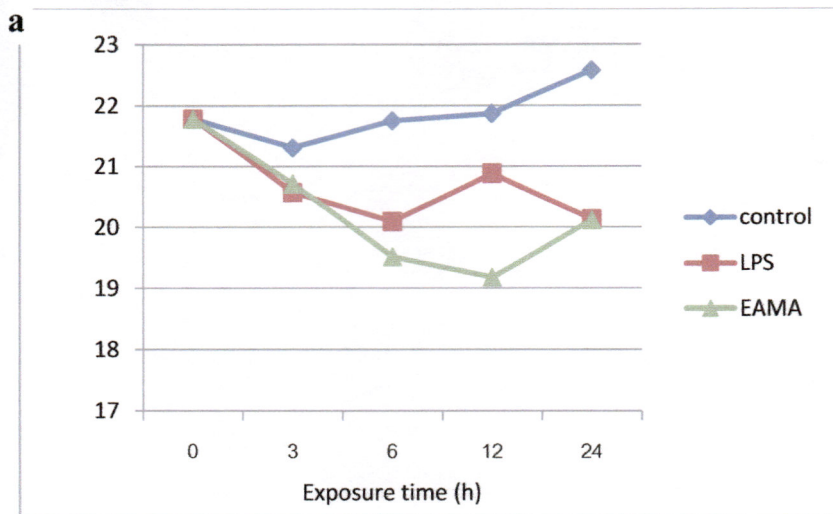
เพื่อทำการยืนยันผลจากการวิเคราะห์โปรตีโอมิกส์ จึงทำการวิเคราะห์รูปแบบการแสดงออกของยีนของโปรตีน 3 ชนิด โดยเทคนิค qRT- PCR คือ apoptosis related protein 3 isoform 4, thymidine kinase 1 และ 6-pyruvoyl tetrahydrobiopterin synthase precursor ผลการวิเคราะห์พบการแสดงออกของยีนของโปรตีน 3 ชนิด มีรูปแบบการเปลี่ยนแปลงที่แตกต่างจากรูปแบบการแสดงของโปรตีน (รูปที่ 3-11 ถึง 3-13)



รูปที่ 3-11 รูปแบบการแสดงออกของโปรตีน apoptosis related protein 3 isoform 4 (a) และการแสดงออกของยีน (b) ในเซลล์แมคโครฟ้าจ RAW 264.7 ที่สัมผัส LPS อย่างเดียว กับสภาวะที่สัมผัส LPS และสาร EAMA



รูปที่ 3-12 รูปแบบการแสดงออกของโปรตีน thymidine kinase 1 (a) และการแสดงออกของยีน (b) ในเซลล์เม็ดครอฟ่า RAW 264.7 ที่สัมผัส LPS อย่างเดียว กับสภาวะที่สัมผัส LPS และสาร EAMA



รูปที่ 3-13 รูปแบบการแสดงออกของโปรตีน 6-pyruvoyl tetrahydrobiopterin synthase precursor (a) และการแสดงออกของยีน (b) ในเซลล์เม็ดครอฟ่าจ RAW 264.7 ที่สัมผัส LPS อย่างเดียว กับสภาวะที่สัมผัสสาร EAMA และสภาวะควบคุม

บทที่ 4

อภิปรายผลการทดลอง

การอักเสบเป็นปฏิกิริยาการตอบสนองของสิ่งมีชีวิตในการตอบสนองต่อสิ่งที่กระตุ้นที่ทำให้เกิดการอักเสบ เช่น เข็มจุลชีพ และส่วนประกอบต่างๆของจุลชีพ ในการเกิดอักเสบมีการเคลื่อนที่ของเซลล์เม็ดเลือดขาวชนิดต่างๆ เข้าไปยังบริเวณที่มีการอักเสบ แมคโคร์ฟ้าเจ็นเซลล์เม็ดเลือดขาวที่มีบทบาทสำคัญในกระบวนการอักเสบ ซึ่งจะผลิตสารสื่อกลางการอักเสบต่างๆ รวมทั้งในตริกออกไซด์ที่ผลิตในแมคโคร์ฟ้านี้เกิดจากการเร่งปฏิกิริยาของเอนไซม์ iNOS ปริมาณในตริกออกไซด์ที่ถูกผลิตมากเกินไปนี้จะส่งผลร้ายต่อร่างกาย และนำไปสู่การเกิดโรคที่เกี่ยวข้องกับการอักเสบต่างๆ ในการวิจัยนี้ทำการศึกษาในเซลล์เพาะเลี้ยงแมคโคร์ฟ้าจากหนูสายพันธุ์ RAW 264.7 ที่ถูกกระตุ้นด้วย LPS ซึ่งเป็นองค์ประกอบของผนังเซลล์แบคทีเรียแกรมลบ ให้ผลิตสารสื่อกลางการอักเสบรวมทั้งในตริกออกไซด์ จึงเป็นการจำลองสภาพการอักเสบในหลอดทดลอง ในรูปที่ 3-7 แสดงการแสดงออกของยีน iNOS เพิ่มขึ้นตามเวลาหลังจากการกระตุ้นด้วย LPS เมื่อเทียบกับเซลล์ควบคุมยืนยันถึงการตอบสนองต่อการอักเสบของเซลล์แมคโคร์ฟ้า และยังพบมีการแสดงออกของยีน HO-1 เมื่อกระตุ้นเซลล์ด้วย LPS ผลการทดลองนี้สอดคล้องกับการศึกษาของ Srisook และ Cha (2004) การแสดงออกของยีน HO-1 นี้เป็นกลไกหนึ่งที่เกิดขึ้นเพื่อลดการอักเสบของเซลล์ และมีรายงานหลายฉบับที่แสดงให้เห็นว่าเอนไซม์ iNOS และ HO-1 มีการควบคุมการแสดงออกของกันและกัน (Sarady-Andrews, 2005; Sawles, 2005; Srisook และคณะ, 2006) ในขณะที่สาร EAMA เพียงอย่างเดียวไม่สามารถเหนี่ยวนำการแสดงออกของ iNOS แต่สามารถเหนี่ยวนำให้มีการแสดงออกของยีน HO-1 ได้ (รูปที่ 3-9) เมื่อเซลล์สัมผัสถับ LPS และสาร EAMA พบร่วมกับ mRNA ของ iNOS ลดลง (รูปที่ 3-8) แสดงถึงการแสดงออกของยีน HO-1 เป็นผลให้การลดลงของโปรตีน iNOS และการผลิตในตริกออกไซด์ ผลการทดลองนี้เหมือนผลการศึกษาที่รายงานโดยกล่าวว่าวัณ ศรีสุข และเอกสารรัฐ ศรีสุข (2554)

การศึกษาໄປไฟล์ของการแสดงออกของโปรตีนในแมคโคร์ฟ้า RAW 264.7 ที่สัมผัสถับ LPS ในสภาพที่มีและไม่มีสาร EAMA ในช่วงเวลาต่างๆ พบร่องรอยของ mRNA 2,429 ชนิด แต่มีเพียง 1,100 ชนิดที่สามารถระบุตำแหน่งที่อยู่ของค่าประกอบภายในเซลล์ เชิงหน้าที่ระดับโมเลกุล หรือกระบวนการชีวภาพ หรือยีนออนไลโนโลยี ดังแสดงรายละเอียดในรูปที่ 3-1 ถึง 3-3 เมื่อเทียบเทียบรูปแบบการแสดงออกของโปรตีนในเซลล์แมคโคร์ฟ้าโดยโปรแกรม MeV ระหว่างสภาพที่สัมผัส LPS อย่างเดียว กับสภาพที่สัมผัส LPS และสาร EAMA พบร่องรอยของโปรตีน 9 ชนิดที่มีรูปแบบการแสดงออกที่แตกต่าง (ตารางที่ 3-2) เช่น โปรตีน apoptosis related protein 3 (Apr3) ซึ่งเป็นโปรตีนที่มีเปอร์เซ็นต์ความเหมือน (% homologous) กับโปรตีน Notch4 ที่เกี่ยวข้องกับ apoptosis ถึง 45% (Zhu และคณะ., 2000) ในการวิเคราะห์โครงสร้างโดยโปรแกรม InterPro และ PROSITE พบร่องรอยของโปรตีน Apr3 ประกอบด้วยโดเมนหลายโดเมน ได้แก่ signal sequence ด้านปลายเอ็น, โดเมน EGF, โดเมน transmembrane และปลายซึ่งอยู่ภายในเซลล์ จากการวิเคราะห์โครงสร้างนี้ให้เห็นว่า โปรตีน Apr3 อาจเป็นโปรตีนที่เข้าสู่เซลล์แมคโคร์ฟ้า เมื่อจราจรภายในเซลล์ MCF-7 และ HeLa ที่พบร่องรอยของโปรตีน Apr3 เป็นโปรตีนที่เข้าสู่เซลล์ และส่วนโดเมน transmembrane เป็นโดเมนที่ทำหน้าที่ (Yu และคณะ., 2007) ดังนั้นโปรตีน Apr3 อาจเป็นโปรตีนที่เป็นตัวรับ (receptor) ของสาร EAMA ซึ่งจะส่งสัญญาณจากเยื่อเซลล์เข้าไปในไซโทซอล เพื่อควบคุมการทำงานของ transcription factors และการตอบรับของยีนเป้าหมายในที่สุด (Yu และคณะ., 2007) อย่างไรก็ตามโปรตีนมีการกระจายตัวอยู่ในไซโทซอล โดยมีอยู่มารอบและบนเยื่อหุ้มนิวเคลียสในเซลล์

Saos2, U2OS, 293T และ Cos-7 การกระจายตัวของโปรตีน Apr3 ในเซลล์ต่างๆแสดงให้เห็นว่าโปรตีน Apr3 ส่งสัญญาณชีวภาพในวิธีที่แตกต่างกันเพื่อควบคุมการทำหน้าที่ต่างๆในเซลล์แต่ละชนิด (Zou และคณะ.,2011) ในปี 2007 มีการรายงานว่าโปรตีน Apr3 เกี่ยวข้องกับสัญญาณที่เหนี่ยวนำให้เกิดการชะงักของวัฏจักรเซลล์ (cell cycle arrest) โดยบังคับการแสดงออกของ cyclin D1 (Yu และคณะ.,2007)

โปนตีนอีกชนิดหนึ่งที่แตกต่างกันระหว่างสภาวะที่สัมผัส LPS อย่างเดียว กับสภาวะที่สัมผัส LPS และสาร EAMA คือ โปรตีน thymidine kinase 1 (TK) ซึ่งเป็นเอนไซม์ที่อยู่ในวิถี salvage ของการสังเคราะห์ dTMP จากการนำกลุ่มฟอสเฟตแกรมมาจาก ATP มาให้กับ thymidine (Ke และคณะ, 2005) นอกเหนือจากการสังเคราะห์โดยวิถี de novo โดยเอนไซม์ thymidylate synthetase ซึ่งสุดท้ายจะได้เป็น dTTP การสังเคราะห์ dTTP จะถูกควบคุมโดยระดับ dGTP และมีความสำคัญต่อกระบวนการจำลองดีเอ็นเอ และการซ่อมดีเอ็นเอ ในเซลล์ทุกชนิด (Chen และคณะ, 2010) ในการศึกษานี้เซลล์เม็ดครอฟต์จากสัมผัสกับ LPS ทำให้มีการแสดงออกของยีน iNOS ซึ่งจะเร่งปฏิกิริยาการสังเคราะห์ในตระกูลออกไซด์ นอกจากระดับต้นด้วย LPS ทำให้มีการสังเคราะห์อนุมูล superoxide ซึ่งจะรวมกับในตระกูลออกไซด์ กลไกเป็นสารต่างๆ เช่น NO_2^- , ONOO^- , N_2O_3 และ HNO_2 ซึ่งเป็นสารก่อภัยพันธุ์ที่ทำให้เป็นสารต่างๆของดีเอ็นเอเกิดการ glycation และเกิดความเสียหายของดีเอ็นเอ (Halliwell และ Gutteridge, 2007) การตอบสนองของเซลล์ต่อการเกิดความเสียหายของดีเอ็นเอโดยการชะงักของวัฏจักรเซลล์ การซ่อมดีเอ็นเอ และการ apoptosis ดังนั้นการเพิ่มการแสดงออกของเอนไซม์ TK เป็นกลไกที่เซลล์ตอบสนองต่อการเพิ่มระดับของ dGTP ซึ่งเป็นผลมาจากการความเสียหายของดีเอ็นเอ

นอกจากนี้ในการศึกษาพบโปรตีน 31 ชนิดที่มีรูปแบบการแสดงออกที่แตกต่างระหว่างสภาวะที่สัมผัส LPS อย่างเดียวกับสภาวะควบคุม และโปรตีน 24 ชนิดที่มีความแตกต่าง ระหว่างสภาวะที่สัมผัสสาร EAMA อย่างเดียวกับสภาวะควบคุม เมื่อเปรียบเทียบรูปแบบการแสดงออกของโปรตีนทั้งหมดพบโปรตีน 6-pyruvoyl tetrahydrobiopterin synthase precursor เป็นโปรตีนที่มีการแสดงออกที่แตกต่างใน 3 สภาวะการทดลองนี้ โปรตีนชนิดนี้เกี่ยวข้องกับการสังเคราะห์ (6R)-5, 6, 7, 8-tetrahydro-L-bis(4-pterin) BH₄ โดย BH₄ มีความสำคัญต่อกระบวนการทางชีวภาพต่างๆ เช่น การส่งสัญญาณประสาท (neurotransmission) การคลายตัวของหลอดเลือด (vasorelaxation) และการตอบสนองต่อภูมิคุ้มกัน (immune response) BH₄ ทำหน้าที่เป็นโคแฟกเตอร์ที่จำเป็นในการสังเคราะห์ในตระกูลออกไซด์ catecholamine และ serotonin (Alderton, 2001; Leitner และคณะ, 2003) กระบวนการสังเคราะห์ BH₄ ในวิถี de novo ประกอบด้วยเอนไซม์ 3 ชนิด คือ GTP cyclohydrolase I, 6-pyruvoyltetrahydropterin synthase (PTPS), and sepiapterin reductase (Oppenheimer และคณะ, 1999) แยกตัวออกจาก PTPS ในเซลล์เม็ดครอฟต์ของคนมีระดับค่อนข้างต่ำ ดังนั้น PTPS จึงเป็นจุดควบคุมความเร็วในการควบคุมการแสดงออกของ GTP cyclohydrolase I ที่ถูกกระตุ้นด้วย cytokines (Leitner และคณะ, 2003) โปรตีน 6-pyruvoyl tetrahydrobiopterin synthase precursor เมื่อถูกสร้างขึ้นแล้ว จะต้องถูกดัดแปลงโครงสร้างหลังการแปลงรหัสพันธุกรรม โดยการตัดกรดอะมิโนตัวที่ 1-4 จากด้านปลาย เอ็นจาก 6-pyruvoyl tetrahydrobiopterin synthase precursor ก่อนมีเอกตัวที่เป็น PTPS (Thony และคณะ, 2000) จากการศึกษาพบว่าในสภาวะที่เซลล์สัมผัสกับ EAMA มีปริมาณโปรตีน 6-pyruvoyl tetrahydrobiopterin synthase precursor ต่ำกว่าในสภาวะที่เซลล์สัมผัส LPS เพียงอย่างเดียว แต่อย่างไรก็ตามผลการทดลองแสดงให้เห็นว่ารูปแบบการเปลี่ยนแปลงที่เหมือนหรือแตกต่างกันของการแสดงออกของ mRNA และโปรตีนจะถูกกำหนดโดยควบคุมที่ขั้นตอนภายในเซลล์เม็ดครอฟต์ที่

ตอบสนองต่อ LPS และ EAMA

บรรณานุกรม

- กล่าวข้างต้น ศรีสุข และเอกสาร ศรีสุข (2554) รายงานการวิจัยเรื่อง การประเมินศักยภาพของอนุพันธ์ ferulic acid ใน การเป็นยาต้านอักเสบชนิดใหม่ ประจำปีงบประมาณ 2553 คณะวิทยาศาสตร์ มหาวิทยาลัยบูรพา
- Alderton, W.K., Cooper, C.E., & Knowles, R.G. (2001). Nitric oxide synthase: structure, function and inhibition. *Biochemical Journal*, 357, 593-615.
- Chen, Y.L., Eriksson, S., and Chang, Z.F. 2010. Regulation and Functional Contribution of Thymidine Kinase 1 in Repair of DNA Damage. *The Journal of Biological Chemistry*, 285: 27327-27335.
- Cho, S.H., Volpe, B.T., Bae, Y.M., Hwang, O.Y., Choi, H.J., Gal, J., et.al. (1999). Blockade of Tetrahydrobiopterin Synthesis Protects Neurons after Transient Forebrain Ischemia in Rat: A Novel Role for the Cofactor. *Journal of Neuroscience*, 19, 878-889
- Coleman, J. W. (2001). Nitric oxide in immunity and inflammation. *Inter Immunopharm*. 1: 1397-1406.
- Cross, R. K, Wilson, K. T. (2003). Nitric oxide in inflammatory bowel disease. *Inflamm Bowel Dis.* 9: 179-189.
- Dorheim, M.A., Tracey, W.R., Pollock, J.S., Grammas, P. (1994). Nitric oxide synthase activity is elevated in brain microvessels in Alzheimer's disease. *Biochemical Biophysical Research and Communications*, 205, 659-665.
- Grisham, M. B, Jourd'Heuil, D., Wink, D. A. (1999). Nitric oxide. I. Physiological chemistry of nitric oxide and its metabolites: implications in inflammation. *Am J Physiol*. 276: G315-321.
- Guzik, T.J., Korbut, R., Adamek-Guzik, T. (2003). Nitric oxide and superoxide in inflammation and immune regulation. *Journal of Physiology and Pharmacology*, 54, 469-487.
- Halliwell B, Gutteridge J. 2007. *Free Radicals in Biology and Medicine*, 4th ed., Oxford University Press, New York, 851 p.
- Karnkla, S. 2008. The synthesis of a series of NAMDA derivatives and their biological activity. Master's thesis, Department of chemistry, Graduate school, Burapha University.
- Ke, P.Y., Kuo, Y.Y., Hu, C.M., and Chang, Z.F. Control of dTTP pool size by anaphase promoting complex/cyclosome is essential for the maintenance of genetic stability. *Genes Dev.* 2005 19: 1920-1933.
- Kim, B.H., Reddy, A.M., Lee, K.H., Chung, E.Y., Cho, S.M., Lee, H., Min, K.R., & Kim, Y. (2004). Inhibitory mechanism of chroman compound on LPS-induced nitric oxide production and nuclear factor-**KB** activation. *Biochemical and Biophysical Research Communications*, 325, 223-228.
- Kim, Y.H., Kim, J., & Kim, H.P. (2007). Anti-inflammatory activity of the synthetic chalcone derivatives: Inhibition of inducible nitric oxide synthase-catalyzed nitric oxide

- production from lipopolysaccharide-treated RAW 264.7 cells. *Biol.Pharm.Bull.*, 30(8), 1450-1455.
- Latham, K.A., Whittington, K.B., Zhou, R., Qian, Z., Rosloniec, E.F. (2005). Ex vivo characterization of the autoimmune T cell response in the HLA-DR1 mouse model of collagen-induced arthritis reveals long-term activation of type II collagen-specific cells and their presence in arthritic joints. *Journal of Immunology*, 174, 3978-3985.
- Lee, S.H., Seo, G.S., Kim, J.Y., Jin, X.Y., Kim, H.D., & Sohn, D.H. (2006). Heme oxygenase 1 mediates anti-inflammatory effects of 2',4',6'-tris (methoxymethoxy) chalcone. *European Journal of Pharmacology*, 532, 178-186.
- Leitner, K.L., Meyer, M., Leimbacher, W., Peterbauer, A., Hofer, S., Heufler, C., et al. Low tetrahydrobiopterin biosynthetic capacity of human monocytes is caused by exon skipping in 6-pyruvoyl tetrahydropterin synthase. *Biochem. J.* (2003) 373, 681-688.
- Mongkol, N. (2009). Investigation of anti-inflammatory activity and mechanism of NAMDA derivatives in murine macrophages. Master's thesis in Biological Science Program, Graduate school, Burapha University.
- Sarady, J.K., Otterbein, S.L., Liu, F., Otterbein, L.E., Choi, A.M., 2002. Carbon monoxide modulates endotoxin-induced production of granulocyte macrophage colony-stimulating factor in macrophages. *American Journal of Respiratory Cell and Molecular Biology* 27, 739-745.
- Sarady-Andrews JK., Liu F., Gallo D., Nakao A., Overhaus M., Ollinger R., Choi A.M., Otterbein L.E. (2005). Biliverdin administration protects against endotoxin-induced acute lung injury in rats. *Am J Physiol Lung Cell Mol Physiol*, 289, L1131-L1137.
- Sawle P., Foresti R., Mann B.E., Johnson T.R., Green C.J., Motterlini R. (2005). Carbon monoxide-releasing molecules (CO-RMs) attenuate the inflammatory response elicited by lipopolysaccharide in RAW264.7 murine macrophages. *Br J Pharmacol*, 145, 800-810.
- Seo, J.W., Srivastava, E., Son, H.J., Hwang, O.Y., Cha, Y.N., Chi, D.Y. (2005). Syntheses of NAMDA derivatives inhibiting NO production in BV-2 cells stimulated with lipopolysaccharide. *Bioorganic & Medicinal Chemistry Letters*, 15, 3369-3373.
- Seo, J.W., Srivastava, E., Son, H.J., Hwang, O.Y., Cha, Y.N., Chi, D.Y. (2008). Syntheses of tetrahydroisoquinoline derivatives that inhibit NO production in activated BV-2 microglial cells. *Eur J Med Chem*, 43, 1160-1170.
- Srivastava, K., Jung N.H., Kim B.R., Cha S.H., Kim H.S., Cha Y.N., 2004. Heme oxygenase-1-mediated partial cytoprotection effect by NO on cadmium induced cytotoxicity in C6 rat glioma cells. *Toxicology in Vitro* 19, 31-39.
- Srivastava, K., Cha, Y.N. 2005. Superinduction of heme oxygenase-1 in macrophages stimulated with lipopolysaccharide by prior depletion of glutathione decreases iNOS expression and NO production. *Nitric Oxide: Biology and Chemistry* 12, 70-79.

- Srisook, K., Kim, C., and Cha, Y.N. 2005. Role of NO in enhancing the expression of HO-1 in LPS-stimulated macrophages. *Methods in enzymology*. 396, 368-377
- Srisook, K., Han, S.S., Choi, H.S., Li, M.H., Ueda,H., Kim, C.K., Cha, Y.N.(2006). CO from enhanced HO activity or from CO-donor inhibits both O₂ and NO production and downregulates HO-1 expression in LPS-stimulate d macrophages. *Biochemical Pharmacology*, 71, 307-318.
- Srisook, K., Palachot, M., Mongkol, N., Srisook, E., Saraputis, S. (2011). Anti-inflammatory effect of ethyl acetate extract from *Cissus quadrangularis* Linn may be involved with induction of heme oxygenase-1 and suppression of NF-κB activation. *Journal of Ethnopharmacology. Journal of Ethnopharmacology*. 133; 1008-1014.
- Srisook K, Mongkol N, Srisook E, Jitrapakdee S. 2012. Heme oxygenase-1 mediates the anti-inflammatory effect of ethyl 2-acetyl-3-(4-hydroxy-3-methoxyphenyl) acrylate in lipopolysaccharide-stimulated macrophages. *Biochemistry and Biophysics Research Communication*; (Submitted).
- Thony, Auerbach, and Blau, 2000. Tetrahydrobiopterin biosynthesis, regeneration and functions. *Biochem. J.* 347, 1-16.
- Van der Vliet, A., Eiserich, J.P., Cross, C.E., 2000. Nitric oxide: a proinflammatory mediator in lung disease? *Respiratory Research* 1, 67-72.
- Wright, C. E., Rees, D.D., Moncada, S. (1992). Protective and pathological roles of nitric oxide in endotoxin shock. *Cardiovascular Research*, 26, 48-57.
- Yu , F., Yang, G., Zhao, Z., Ji, L., Cao, Y.; Bai, L., Lu, F., Fu, H., Huang, B., Li, H.; Zhang, J., Yao, L., and Lu, Z. 2007. Apoptosis related protein 3, an ATRA-upregulated membrane protein arrests the cell cycle at G1/S phase by decreasing the expression of cyclin D1. *Biochemical and Biophysical Research Communications* 358: 1041-1046.
- Zhu, F., Yan, W., Zhao, Z.L., Chai, Y.B., Lu, F., Wang, Q., Peng, W.D., Yang A.-G., and Wang, C.J. 2000. Improved PCR-Based Subtractive Hybridization Strategy for Cloning Differentially Expressed Genes. *BioTechniques* 29:310-313.
- Zou, X., Shen, J., Chen, F., Ting, K., Zheng, Z., Pang, S., Zara, J.N., Adams, J.S., Soo, C., and Zhang, X. 2011. NELL-1 binds to APR3 affecting human osteoblast proliferation and differentiation. *FEBS Letters* 585: 2410–2418.

301496

Outputs

1. Jirapa Chantiman, Ekaruth Srisook, Narumon Phaonakrop, Janthima Jaresitthikunchai, Sittiruk Roytrakul, Klaokwan Srisook. (2011). Proteome Analysis of Murine Macrophage Cell in Response to Ethyl 2-acetyl-3-(4-hydroxy-3-methoxyphenyl) acrylate (EAMA). Proceeding of the 3rd International Conference on Biochemistry and Molecular Biology. 6-8 April, 2011. p62-66.
2. Jirapa Chantiman, Ekaruth Srisook, Narumon Phaonakrop, Janthima Jaresitthikunchai, Sittiruk Roytrakul, Klaokwan Srisook. Proteomic analysis of murine macrophage cell line in response to lipopolysaccharide. Proceeding of the 6th International Symposium of the Protein Society of Thailand. 31 Aug-2 Sep 2011. P167-173.
3. Jirapa Chantiman, Ekaruth Srisook, Narumon Phaonakrop, Janthima Jaresitthikunchai, Sittiruk Roytrakul, Klaokwan Srisook. Differential expression of proteome of LPS-treated murine macrophages in response to ethyl 2-acetyl-3-(4-hydroxy-3-methoxyphenyl) acrylate (EAMA). Journal of Proteomics. (Manuscript in preparation).